



รายงานผลการวิจัย มหาวิทยาลัยแม่โจ้

เรื่อง การศึกษาถีนแสดงออกในการเจริญพันธุ์ในปลาบึกเพศเมีย (*Pangasianodon gigas*)
STUDY OF MATURATION GENE EXPRESSION IN FEMALE MEKONG GIANT
CATFISH (*Pangasianodon gigas*).

โครงการย่อยภายใต้ชุดโครงการ :

ระบบการพัฒนาเชิงพาณิชย์ที่ยั่งยืนสำหรับการเพาะเลี้ยงปลาบึก

ได้รับการจัดสรรงบประมาณวิจัย ประจำปี 2550 - 2551

จำนวน 570,930.00 บาท

หัวหน้าโครงการ ดร. จิราพร ใจจนทินกร

งานวิจัยเสือล้านสมบูรณ์
กันยายน 2553

กิตติกรรมประกาศ

การวิจัยครั้งนี้ได้รับการสนับสนุนทุนวิจัย จาก สำนักวิจัยและส่งเสริมวิชาการการเกษตร
มหาวิทยาลัยแม่โจ้ (สำนักงานคณะกรรมการวิจัยแห่งชาติ (วช.)) ปีงบประมาณ 2550 - 2551

ขอขอบคุณ คณะเทคโนโลยีการประมงและทรัพยากรทางน้ำ ที่ให้การสนับสนุนสถานที่ใน
การทำวิจัย

ขอขอบคุณ วศ.ดร.เกอเรย์ศักดิ์ เม่งคำพัน และ ดร.จรัส ไชยองค์กาก (รัลฟาร์ม อ.พาณ จ.
เชียงราย) ที่สนับสนุนตัวอย่างปลาบึกเพื่อเก็บตัวอย่างเลือดใช้ในการวิจัย

ขอขอบคุณ นักศึกษาช่วยงาน และบุคลากรในคณะฯ ทุกท่านที่มีส่วนร่วมในการวิจัยนี้ให้
สำเร็จลุล่วงด้วยดี

๒๕

(ดร. จิราพร ใจนพินกร)

กันยายน 2553

สารบัญเรื่อง

| | หน้า |
|--|------|
| กิตติกรรมประกาศ | |
| สารบัญเรื่อง | ก |
| สารบัญภาพ | ค |
| สารบัญตาราง | จ |
| คำอธิบายสัญลักษณ์และคำย่อ | ฉ |
| บทคัดย่อ | ๑ |
| ABSTRACT | ๒ |
| คำนำ | |
| - ความสำคัญและที่มา | ๔ |
| - วัตถุประสงค์ของโครงการวิจัย | ๕ |
| การตรวจเอกสาร | |
| 1. การตอกไข่ของปลาและปลาบีก | ๗ |
| 2. EST ของการตอกไข่ของปลา และสิ่งมีชีวิตอื่น | ๑๒ |
| การวิจัยปีที่ ๑ | |
| 1.1 อุปกรณ์และวิธีการ | ๑๖ |
| 1) การเก็บตัวอย่างเลือดแม่ปลาบีก | ๑๖ |
| 2) การสกัด total RNA | ๑๖ |
| 3) การสกัด messenger RNA (mRNA) | ๑๗ |
| 4) การสร้าง Complementary DNA library (cDNA library) | ๑๗ |
| 1.2 ผลการทดลองและวิจารณ์ | ๑๙ |
| 1) การเก็บตัวอย่างเลือดแม่ปลาบีก | ๑๙ |
| 2) การเตรียม mRNA เพื่อสร้าง cDNA libraries | ๑๙ |
| การวิจัยปีที่ ๒ | |
| 2.1 อุปกรณ์และวิธีการ | ๒๒ |
| 1) การสร้าง Complementary DNA library (cDNA library) | ๒๒ |
| 2) การตรวจวิเคราะห์คุณภาพของ cDNA library | ๒๖ |

| | |
|--|----|
| 3) การเตรียมพลาสมิดและการหาลำดับนิวคลีโอไทด์ | 26 |
| 4) การวิเคราะห์ลำดับนิวคลีโอไทด์ | 26 |
| 2.2 ผลการทดลองและวิจารณ์ | 27 |
| 1) ยืนแสดงออกในเลือดของแม่ปลาบึก | 27 |
| 2) ยืนที่เกี่ยวข้องกับการตกไข่ | 32 |
| - Activin A receptor | 32 |
| - Cystatin precursor | 38 |
| 3) ยืนที่เกี่ยวกับระบบภูมิคุ้มกัน | 44 |
| - MHC class II | 44 |
| - F-type lectin | 53 |
| - Intercellular adhesion molecule 2 (ICAM2) | 58 |
| สรุปผล | 66 |
| บรรณานุกรม | 69 |
| ภาคผนวก | 75 |

สารบัญภาพ

| ภาพที่ | | หน้า |
|--------|--|------|
| 1 | แสดงลักษณะของไข่ปลา | 8 |
| 2 | แสดงการพัฒนาของไข่ปลาบีก | 9 |
| 3 | แผนผังการวิจัย | 14 |
| 4 | การทดสอบคุณภาพของ mRNA ที่แยกได้จาก total RNA | 19 |
| 5 | การเก็บตัวอย่างเลือดแม่ปลาบีก | 20 |
| 6 | สัดส่วนยืนแสดงออกในเลือดแม่ปลาบีกระหว่างฤทธิภาวะไข่และนอกรถภาวะไข่ | 31 |
| 7 | An oocyte morphogen gradient influences granulosa cell phenotypes | 33 |
| 8 | กลไก activin autocrine/paracrine mechanism เพื่อพัฒนาการตกไข่ Activin/SMAD signaling pathway | 33 |
| 9 | BLASTX alignment ของ EST clone O1024 | 34 |
| 11 | การวิเคราะห์ <i>P. gigas</i> activin A receptor (EST clone O1024) | 35 |
| 12 | การเปรียบเทียบลำดับอะมิโนแอซิดของ activin A receptor ในปลาบีก (EST clone O1024) กับสิ่งมีชีวิตชนิดอื่น | 37 |
| 13 | โครงสร้างโปรตีน cystatin C ของมนุษย์ | 39 |
| 14 | BLASTX alignment ของ EST clone O5030 | 40 |
| 15 | การวิเคราะห์ <i>P. gigas</i> cystatin precursor (EST clone O5030) | 41 |
| 16 | การเปรียบเทียบลำดับอะมิโนแอซิดของ cystatin precursor ในปลาบีก (EST clone O5030) กับสิ่งมีชีวิตชนิดอื่น | 43 |
| 17 | โครงสร้างของ MHC class I และ class II | 45 |
| 18 | BLASTX alignment ของ EST clones ที่เทียบได้กับ MHC class II | 46 |
| 19 | การวิเคราะห์ <i>P. gigas</i> MHC class II alpha chain (EST clone A3017) | 47 |
| 20 | การเปรียบเทียบ alpha domain ของ MHC class II ของปลาบีก ปลาอื่น และมนุษย์ | 49 |
| 21 | การวิเคราะห์ <i>P. gigas</i> MHC class II beta chain (EST clone O2089) | 50 |

| | | |
|----|--|----|
| 22 | การเปรียบเทียบ beta domain ของ MHC class II ของปลาบึกและสัตว์อื่น | 52 |
| 23 | โครงสร้างโปรตีน F-type lectin ของปลาไหล (<i>Anguilla anguilla</i>) | 54 |
| 24 | BLASTX alignment ของ EST clone O1004 | 55 |
| 25 | การวิเคราะห์ <i>P. gigas</i> III-FBPL precursor (EST clone O1004) | 56 |
| 26 | การทำงานร่วมกันของ Intercellular adhesion molecules | 60 |
| 27 | โครงสร้างโปรตีน Intercellular adhesion molecule 2 (ICAM2) ของมนุษย์ | 62 |
| 28 | BLASTX alignment ของ EST clone O1005 | 62 |
| 29 | การวิเคราะห์ <i>P. gigas</i> ICAM2 (EST clone O1005) | 63 |
| 30 | การเปรียบเทียบโดเมน ICAM ของปลาบึกและสัตว์เลี้ยงลูกด้วยนม | 65 |

สารบัญตาราง

| ตารางที่ | หน้า |
|--|------|
| 1 ยืนรู้ชนิดในเลือดปลาบึกเพศเมียระหว่างฤคุรางไข่ | 28 |
| 2 ยืนรู้ชนิดในเลือดปลาบึกเพศเมียนอกฤคุรางไข่ | 29 |
| 3 เปรียบเทียบยืนแสดงออกในเลือดปลาบึกเพศเมียระหว่างฤคุรางไข่ และ นอกรางไข่ | 30 |

คำอธิบายสัญลักษณ์และคำย่อ

| | | |
|--------------------|---|------------------|
| $^{\circ}\text{C}$ | = | degree Celsius |
| % | = | percent |
| g | = | gram |
| cm | = | centimeter |
| mm | = | millimeter |
| nm | = | nanometer |
| μm | = | micrometer |
| l | = | liter |
| μl | = | micrometer |
| h | = | hour |
| rpm | = | round per minute |

การศึกษาขั้นแสดงออกในการเจริญพันธุ์ในปลาบีกเพสเมีย

(*Pangasianodon gigas*)

การศึกษาขั้นแสดงออกในการเจริญพันธุ์ในปลาบีกเพสเมีย

(*Pangasianodon gigas*)

จิราพร โรจน์ทินกร⁽¹⁾

Jiraporn Rojtnakorn⁽¹⁾

(1) คณะเทคโนโลยีการประมงและทรัพยากรทางน้ำ มหาวิทยาลัยแม่โจ้

บทคัดย่อ

Expressed sequence tag (EST) เป็นวิธีการที่มีประสิทธิภาพสูงในการหาดันหายืนใหม่ การตรวจหาการแสดงออกของยีนและหน้าที่ของยีน การวิจัยนี้ได้ใช้เทคนิค EST เพื่อวิเคราะห์ยีนแสดงออกของปลาบีกเพสเมียในระยะวางไข่และหลังวางไข่ โดยการสร้าง cDNA libraries จาก mRNA ที่สกัดจากเลือดของปลาบีกเพสเมียในฤดูวางไข่ 38 โคลน และนอกฤดูวางไข่ 28 โคลน นำ EST clones ทั้งหมด 66 โคลน เปรียบเทียบกับฐานข้อมูล GenBank ใน NCBI พบร่วมกับเป็นยีนที่รู้จักทั้งหมด 30 ชนิด โดยในระยะวางไข่มีจำนวน 26 โคลน (69.23%) และหลังวางไข่มีจำนวน 16 โคลน (55.56 สำหรับยีนที่ไม่รู้จักในระยะวางไข่) มี 12 โคลน (30.77%) และหลังวางไข่มีจำนวน 12 โคลน (44.45%) ขนาด EST clones เฉลี่ย 518 bp สำหรับ ovulation cDNA libraries และ 434 bp สำหรับ post-ovulation libraries โดยพบยีนสำคัญ 6 ยีน ได้แก่ ยีนที่เกี่ยวข้องกับการตกไข่ ได้แก่ activin A receptor และ cystatin precursor ซึ่งพบใน ovulation cDNA libraries ยีนที่เกี่ยวข้องในระบบภูมิคุ้มกัน 3 ยีนจาก ovulation cDNA libraries คือ III-FBPL precursor (F-type lectin) intercellular adhesion molecule 2 (ICAM2) และ MHC class II beta chain และ 1 ยีนจาก post-ovulation libraries คือ MHC class II alpha chain งานวิจัยนี้เป็นรายงานครั้งแรกเกี่ยวกับข้อมูลในระดับอนุโมตุลของการตกไข่ในปลาบีก

ABSTRACT

Expressed sequence tag (EST) analysis is a high efficient for gene discovery, examining gene expression and functional genomics. This study was employed ESTs to analyze gene expression of Mekong giant catfish (*Pangasianodon gigas*) in ovulation and after ovulation using a cDNA libraries constructed from mRNA extracted from blood. Sequences of total of 66 clones were analyzed through GenBank in NCBI. Among total 30 known genes, from 38 EST clones of ovulation and 28 EST clones of post ovulation were identified as orthologs to known genes from other organisms, 26 clones (69.23%) and 16 clones (55.56%), respectively. For unknown genes, there were 12 EST clones (30.77%) of ovulation and 12 clones (44.45%) of post ovulation. The average insert sizes of EST clones were 518 bp for ovulation cDNA libraries and 434 bp for post-ovulation libraries. We found the 6 important genes. There were 2 genes; putative proteins of activin A receptor and cystatin precursor, that involving to ovulation from ovulation cDNA libraries. There were 4 genes involving in immune system; 3 genes from ovulation cDNA libraries such putative proteins of III-FBPL precursor (F-type lectin), intercellular adhesion molecule 2 (ICAM2) and MHC class II beta chain, and 1 gene from post-ovulation libraries such as MHC class II alpha chain. This is the first report for molecular level of ovulation in Mekong giant catfish.



คำนำ

ความสำคัญและที่มา

ในการผลิตพันธุ์ปลานบีกเพื่อการเพาะเลี้ยงเชิงพาณิชย์ ปัจจัยจำกัดที่สำคัญ คือ ปริมาณและคุณภาพของไข่ปลาที่ไม่แน่นอน และอายุการเจริญพันธุ์ของแม่ปลาที่ต้องใช้เวลา นาน (15-17 ปี) การศึกษาการแสดงออกของยีนในปลาเพศเมียที่จะระบุก่อนการเจริญพันธุ์และขณะสร้างไข่ จะสามารถทำให้เข้าใจถึงข้อมูลของสารชีวโมเลกุลที่เกี่ยวข้องกับ เพศ การพัฒนาความสมบูรณ์เพศ และการผลิตไข่ในแม่ปลา พร้อมทั้งมีการศึกษาเครื่องหมายพันธุกรรมระบุเพศด้วยวิธี RAPD เพื่อให้สามารถจำแนกเพศปลาได้ในขณะที่อายุยังน้อย ผลงานงานวิจัยนี้จะมีประโยชน์อย่างยิ่งในการจัดการแม่พันธุ์ปลานบีก เพื่อเพิ่มประสิทธิภาพและคุณภาพในการเพาะ เลี้ยงปลานบีก

วิธีการผสมเทียมปลานบีกทำเช่นเดียวกับการผสมเทียมปลาชนิดอื่น โดยการฉีดฮอร์โมนกระตุ้นการตกไข่ของแม่ปลา (เสน่ห์, 2526; เสน่ห์ และคณะ, 2536) ฮอร์โมนที่ใช้ เช่น ต่อมใต้สมองของปลาหางยาว gonadotrophin releasing hormone analogue (GnRHa) เป็นต้น แล้วรอระยะเวลาในการเต็มพร้อมของแม่ปลา การให้ออร์โมนสามารถกระตุ้นให้ไข่ของแม่ปลาสุกมากที่สุดเพื่อประสิทธิภาพในการผสม แล้วจึงรีดไข่แก่จากแม่ปลานำมาระบบสอดของพ่อปลา ปัญหาที่ประสบคือ การฉีดฮอร์โมนกระตุ้นมีความผันแปรในการทดลองแต่ละครั้ง ทั้งในเรื่องปริมาณฮอร์โมนที่ใช้ (dose) ระยะเวลาที่รอ (interval time) รวมถึงความไม่แน่นอนของประสิทธิภาพไข่ปลาที่พร้อมจะผสม ทำให้ปริมาณและคุณภาพของลูกปลาที่ได้ไม่แน่นอน และในบางกรณีอาจประสบปัญหาสูญเปล่า เนื่องจากความไม่พร้อมของตุตูกาล สภาวะธรรมชาติ และช่วงอายุสมบูรณ์พันธุ์ของแม่ปลา ประกอบกับจำนวนแม่พันธุ์พ่อพันธุ์ได้มาจากธรรมชาติที่เกษตรกรจับมา มีน้อย ทำให้ปริมาณปลาที่จะใช้ทดลองไม่เพียงพอ awanปลานบีกที่เกษตรกรเลี้ยงในประเทศไทย ต้องใช้ระยะเวลานานมากกว่า 12-15 ปี เพื่อความสมบูรณ์เพศที่จะให้ไข่ที่มีคุณภาพเพียงพอ

ดังนั้นปัจจัยจำกัดที่สำคัญในการเพาะขยายพันธุ์ลูกปลานบีก คือ แม่พันธุ์ปลา มีความพร้อมในการผลิตไข่ที่มีคุณภาพที่อายุ 13-15 ปี ซึ่งหมายถึงระยะเวลาการเลี้ยงแม่พันธุ์ด้วย และในการผสมเทียมแต่ละครั้งยังไม่สามารถกำหนดปริมาณและคุณภาพของไข่ที่ได้ งานวิจัยนี้จึงจะทำการศึกษายืนที่แสดงออกของแม่ปลานบีกที่ก่อนการเจริญพันธุ์และระยะที่มีการวางไข่ เพื่อเป็นข้อมูลสำคัญในการเข้าใจเกี่ยวกับกลไกทางสรีรวิทยาของการพัฒนาความสมบูรณ์ในเพศเมีย ซึ่งสามารถนำไปประยุกต์ใช้ในการจัดการแม่พันธุ์ปลาให้มีความพร้อมในการสร้างไข่ที่อายุน้อยลง และได้ไข่ที่มีปริมาณและคุณภาพสูง

จากผลการวิจัย พบร่วมกับ รูปแบบยีนแสดงออกในเลือดแม่ปลาบึกในระยะวางไข่และหลังวางไข่ มีความแตกต่างกันอย่างชัดเจน โดยพบยีนสำคัญ 6 ยีน ได้แก่ ยีนที่เกี่ยวข้องกับการตกไข่ ได้แก่ activin A receptor และ cystatin precursor ซึ่งพบร่วมกับ ovulation cDNA libraries ยีนที่เกี่ยวข้องในระบบภูมิคุ้มกัน 3 ยีนจากระยะวางไข่ คือ III-FBPL precursor (F-type lectin) intercellular adhesion molecule 2 (ICAM2) และ MHC class II beta chain และ 1 ยีนจากระยะหลังวางไข่ คือ MHC class II alpha chain งานวิจัยนี้ยังเป็นรายงานครั้งแรกเกี่ยวกับข้อมูลในระดับอ่อนโน้มे�กุลของการตกไข่ในปลาบึก

วัตถุประสงค์ของโครงการวิจัย

- ศึกษาเบรียบเทียบยีนแสดงออกในและนอกระยะความสมบูรณ์เพศในปลาบึกเพศเมีย
- ประเมินถึงสารชีวโมเลกุลที่เกี่ยวข้องกับการพัฒนาการทางเพศและผลิตไข่ของปลาบึกเพศเมีย

การตรวจเอกสาร

1. การตกไข่ของปลาและปลาบีก

รังไข่และการสร้างเซลล์สืบพันธุ์เพศเมีย

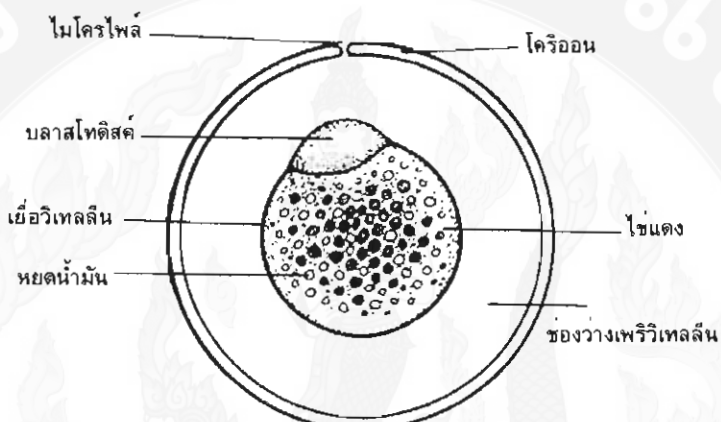
รังไข่มีลักษณะเป็นฝักคู่ และมีเยื่อมีโซราเรียม (mesovarium) ยึดติดกับผนังซองท้อง ไข่จะถูกปล่อยออกมาทางท่อน้ำไข่ (oviduct) และออกสู่ภายนอกทางช่องเปิด (urogenital pore) ซึ่งเป็นช่องเปิดร่วมกับปัสสาวะ ภายในรังไข่จะมีกระบวนการสร้างไข่ (oogenesis) ซึ่งมีฟอลลิเคิล เซลล์จำนวนมาก ภายในฟอลลิเคิล มีเซลล์สืบพันธุ์เบื้องต้น ซึ่งมีปลาสมบูรณ์เพศเซลล์ เหล่านี้จะแบ่งตัวแบบไม่โอดิส เพื่อเพิ่มจำนวนและขนาดโดยขึ้น เรียกแต่ละเซลล์ว่า ออโโโกเนีย (oogonia) หลังจากนี้ออโโโกเนียจะแบ่งเซลล์แบบไม่โอดิส เมื่อสิ้นสุดการแบ่งไม่โอดิสขั้นแรก ได้ออโโโกเดิปฐมภูมิ (primary oocyte) กับเซลล์ข้า (polar body) จากนั้นออโโโกเดิปฐมภูมิจะผ่าน ขบวนการสร้างไข่แดง (vitellogenesis) โดยเซลล์บุผิวที่อยู่รอบๆ สร้างอาหารสะสมในรูปของ โปรตีนและไขมัน (granular yolk) การแบ่งเซลล์แบบไม่โอดิสขั้นที่สองจะเกิดต่อไป แต่ปลาส่วน ในญี่จะค้างอยู่ที่ระยะเมทافส (metaphase II) จะมีการตกไข่ ซึ่งการแบ่งไม่โอดิสขั้นที่สองจะ เกิดขึ้นอย่างสมบูรณ์เมื่อมีอุจจิเข้ามาผสม กับเซลล์ไข่ ผลจากการแบ่งจะได้นิวเคลียสของไข่ (female pronucleus) ซึ่งมีโครโมโซมครึ่งเดียว เมื่อผสมกับนิวเคลียสจากอุจจิจะได้ไซโกต (zygote) ซึ่งมีโครโมโซมเป็นดิพโลย์เดิมอนพ่อแม่

ไข่ที่สุกแล้วจะถูกปล่อยออกมาทางช่องเพศ ยกเว้นในปลากระดูกอ่อนจะปล่อย ออกมาทางทวารร่วม ซึ่งเป็นทางออกร่วมกับอุจจาระ โดยไข่ปลาจัดเป็นไข่แบบเทโลเลซิท (telolecithal egg) คือมีไข่แดงจำนวนมากอยู่ข้างหนึ่งซึ่งสะสมอาหารสำหรับตัวอ่อน เรียก ข้าพีช (vegetal pole) อีกข้างหนึ่งเป็นบริเวณที่มีนิวเคลียส เรียก ข้าสตอร์ (animal pole) ซึ่งเป็นบริเวณที่จะ เป็นตัวปลา ไข่มีเยื่อหุ้ม 2 ชั้น คือ

1. ชั้นนอก เรียกว่าชอริโอน (chorion) เป็นชั้นที่หุ้มไข่เอาไว้ ทางข้าสตอร์มีรูเล็กๆ เรียกว่า ไพล์ (micropyle) ซึ่งเป็นทางเข้าของอุจจิเพื่อเข้าไปปฏิสนธิกับไข่
2. ชั้นใน เรียกว่าไวเทลลีน (vitelline membrane) หุ้มไข่แดงและนิวเคลียสของไข่ ระหว่าง 2 ชั้นนี้มีช่องว่างเรียกว่าเพริวเทลลีน (perivitelline space)

ภายในไข่ประกอบด้วยไข่แดง ซึ่งรวมกันเป็นก้อน มีไซโทพลาสต์มีหุ้มล้อมรอบเป็น ชั้นบางๆ ทางด้านข้าสตอร์มีลักษณะหนาๆ ปร่างเหมือนหมวก มีนิวเคลียสอยู่ เรียกบริเวณนี้ว่า เจอ

มิเนล ดิสค์ (germinal disc) หรือ บลาสโต迪สค์ (blastodisc) ซึ่งเป็นบริเวณที่จะมีการแบ่งตัวเจริญ เป็นตัวอ่อน เมื่อไข่ได้รับการปฏิสนธิกับอสุจิ ภายในไข่แดงมีหยดน้ำมัน (oil globule หรือ oil droplet) หยดน้ำมันจะมีขนาดเล็กหรือใหญ่ จำนวนมากหรือน้อยขึ้นอยู่กับชนิดของปลา (อุทัยรัตน์, 2531)



ภาพที่ 1 แสดงลักษณะของไข่ปลา

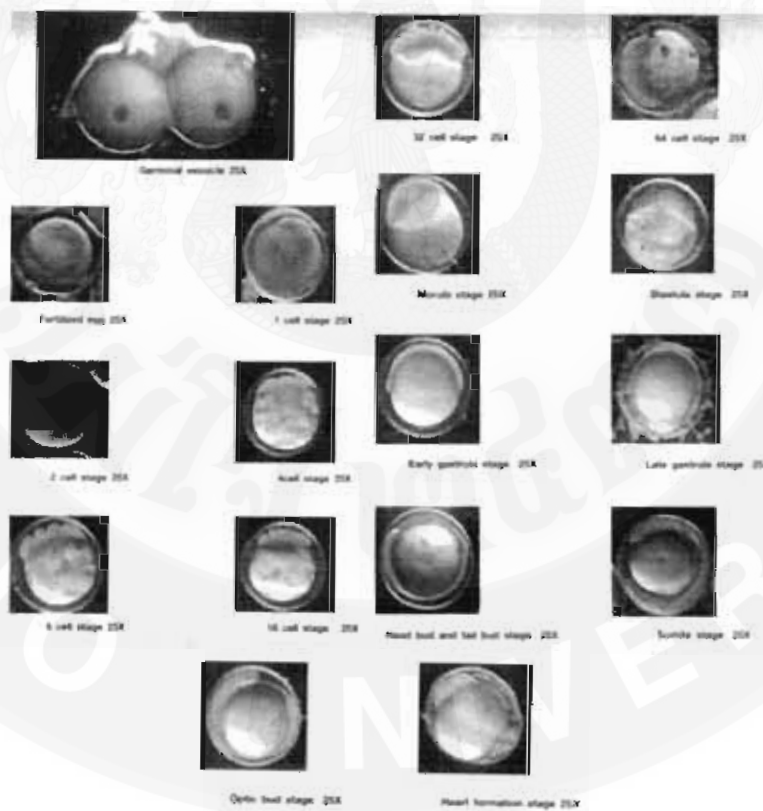
การสร้างเซลล์สืบพันธุ์ของปลาบึกเพศเมีย

วีระศัย (2535) พบว่าระบบสืบพันธุ์ของปลาบึกเพศเมียวัยเจริญพันธุ์มีรังไข่มีขนาดใหญ่พูนไกระยะต่างๆ บรรจุอยู่ โดยการเจริญของไข่แบ่งได้เป็น 5 ระยะ คือ

1. oogonia
2. primary growth phase
3. early-vitellogenesis ขนาดของไข่และนิวเคลียสมีขนาดใหญ่ขึ้นใช้ตอพลาสซีมเริ่มใส และมีการเพิ่มจำนวน นิวคลีโอลัส
4. mid-vitellogenesis ไข่ระยะนี้มีโครงสร้างห่อหุ้มหลายชั้น จากชั้นนอกเข้าไปข้างใน ตามลำดับ คือ theca externa, theca interna, follicular layer granulosa และ zona

radiata ไข่ตอพลาสซีม มี yolk granules จำนวนมากอยู่ใกล้้นวิเคลียส เริ่มมีการเคลื่อนตัวของนิวเคลียสไปอยู่ขอบเซลล์ด้าน animal pole ซึ่ง yolk granules จะเริ่มเข้ามาริดกันเกิดซ่องว่างทำให้ไข่เริ่มใสขึ้น

5. maturation egg stage เส้นผ่าศูนย์กลางประมาณ 1.5 มิลลิเมตร yolk granules เข้ามาริดกันไว้มีลักษณะใสและนิวเคลียสมีตำแหน่งซึ่งอยู่ทางซ้าย ความคงของไข่มีค่าประมาณ 600-700 พอง/กรัม



ภาพที่ 2 แสดงการพัฒนาของไข่ปลาบึก (ยงยุทธและคณะ, 2544)

ฮอร์โมนกับการเจริญพันธุ์ของปลา

นฤพล และวัฒนา (2537) กล่าวไว้ในรายงานการศึกษา วิจารณ์การสืบพันธุ์ในรอบปี ของแม่ปลาตะเพียนขาวว่า ไข่ในกระบวนการสร้างไข่แดง เกิดขึ้นตลอดทั้งปีในแม่ปลาตะเพียนขาว จากการศึกษาในปลาทั่วๆไป การสร้างไข่แดง จะอยู่ภายใต้อิทธิพลของฮอร์โมนโดยมี Estradiol (E2) เป็นตัวกระตุ้นให้มีการสร้างไข่แดงที่ตับ และ gonadotropin hormone (GTH) เป็นตัวกระตุ้นให้มีการดูดซึมไข่แดงเข้าไปในไข่ การเพิ่มของไข่ระยะที่มีไข่แดงจะสอดคล้องกับการเพิ่มขึ้นของ Gonadosomatic Index (GSI) และการเพิ่มขึ้นอย่างรวดเร็ว ของ E2 ส่วนการเปลี่ยนแปลงระดับความเข้มข้นของ E2 และ Testosterone (T) ในพลาสมາของแม่ปลาตะเพียนขาวในรอบปีจะดับความเข้มข้นของ E2 ในแม่ปลาตะเพียนขาวจะสูงกว่า ระดับความเข้มข้นของ T ตลอดทั้งปี ในปัจจุบันหน้าที่ของ T ในปลาเพศเมียยังไม่เป็นที่เข้าใจอย่างชัดเจน แม้ได้มีการเสนอว่า T อาจทำหน้าที่เป็นสารเริ่มต้น (precursor) ของการสังเคราะห์ E2 ในปลาเพศเมียในระหว่างการพัฒนาของไข่ระยะ oocyte estradiol (E2) มีบทบาทสำคัญในขบวนการสร้างไข่แดงในไข่มีความสัมพันธ์โดยตรงกับค่า GSI ขณะที่ 17 - 20 - dihydroxy- 4 pregnen - 3 - on (DHP) จะกระตุ้นให้เกิดการหลัง gonadotropin hormone (GTH) และเกิดการสุกของไข่ ส่วน testosterone (T) เป็นสารซักน้ำ ให้เกิดการสร้าง E2 (Scott et al., 1980) ในปลาทอง T จำเป็นต่อการสร้าง GTH (Kobayashi et al., 1986)

การวางแผนของปลาบึก

เสน่ห์ (2526) ได้ทดลองผสมเทียมปลาบึกด้วยการฉีดฮอร์โมนสำเร็จเป็นคนแรก โดยใช้ฮอร์โมนจากต่อมใต้สมองปลาเกล็ดเงินฉีดให้พ่อแม่ปลาบึก เยิ่มแรก 0.5 โดสในเพศเมีย หลังจากนั้น 8 ชั่วโมง เยิ่มที่สอง 1.4 โดสสำหรับแม่ปลา และฉีดพ่อปลาพร้อมกัน 0.5 โดส ผ่านไป 12 ชั่วโมง ฉีดเข็มที่สาม ทั้งสองตัว 0.5 โดสผสม domperidone รอเวลา 4-6 ชั่วโมง ตรวจดูความพร้อมของแม่ปลา ถ้าไข่แก่ตี รีดไข่และรีดน้ำเข้าอ盆สม นำไปฟักที่ 25OC นาน 45-54 ชั่วโมง นำลูกปลาที่ฟักออกเป็นตัวไปอนุบาล

เสน่ห์ และคณะ (2536) ศึกษาเปรียบเทียบผลการใช้ salmon gonadotrophin releasing hormone analogue, sGnRHa 1 ชนิด คือ suprefact ร่วมกับยาเสริมฤทธิ์ dopamine antagonist 2 ชนิด คือ domperidone และ sulpiride ในสูตรต่างๆ 7 สูตร พบร่ว่า ที่ได้ผลดีที่สุด และต้นทุนถูกที่สุด คือ การใช้ suprefact ร่วมกับ domperidone

จากการสังเกตความสมบูรณ์ของไข่ปลาบีกเพศเมียที่จับได้ และจากความสำเร็จในการผสมเทียนของเสนอท์ ผลประสิทธิ์และคณะ บ่งชี้ว่า ปลาบีกมีคุณสมพันธุ์อยู่ในช่วงต้นฤดูฝน ประมาณเดือนพฤษภาคมถึงเดือนมิถุนายน (เกรียงศักดิ์, 2543; Baird, 1996) ความดกไข่ของแม่ปลาบีกสมบูรณ์เพศตามธรรมชาติติดประเมินว่า 800,000 พองต่อน้ำหนัก 1 กิโลกรัม (เสนอท์และภาณุ, 2540)

จริราพร (2547) ได้ศึกษาความต้องการสารชีวโมเลกุลของไข่ปลากลุ่ม *Pangasiagnodon* ให้พัฒนาสู่ระยะสุดสมบูรณ์ (ระยะ metaphase II) โดยทำการทดลองเลี้ยงไข่ปลาให้สุก ในห้องทดลอง (in vitro maturation, IVM) ด้วยอาหารสูตรต่างๆ ได้ทำการทดลองในไข่ปลาบีก และไข่ปลาสวาย (*Pangasianodon hypophthalmus*) ซึ่งมีสายพันธุ์ใกล้ชิด (close species) กับปลาบีกมากที่สุด พบร่วม บริเวณสารต่างๆ เช่น IGF-I HCG LH ที่เปลี่ยนแปลง มีผลต่อไข่ปลาบีกมากกว่าไข่ปลาสวาย ทำให้การเลี้ยงไข่ปลาบีกสุกในห้องทดลองทำได้ยากกว่าไข่ปลาสวาย

2. EST ของการตกไข่ของปลา และสิ่งมีชีวิตอื่น

Chen และคณะ (2009) ได้ศึกษาการแสดงออกของยีนใน follicles ของแกะโดยการทำ suppressive subtractive hybridization (SSH) เพื่อหา Expressed sequence tag (EST) โดยพบ EST ใหม่จำนวน 14 โคลน และพบโคลนที่เกี่ยวข้องกับการสืบพันธุ์จำนวน 4 โคลน เป็นยีน LAPTMA4A, SERPINE2, GSTA1 และ INHBA โดยเป็นรายงานแรกที่พบหน้าที่ใหม่ของยีน LAPTMA4A ที่เกี่ยวข้องกับการสืบพันธุ์

Zeng และ Gong (2002) ได้ศึกษารูปแบบการแสดงออกของยีนของม้าน้ำในอัณฑะและรังไข่ โดยการสร้าง cDNA libraries ของตัวอย่างทั้งสอง ได้โคลน EST 1025 โคลน โดยเป็นโคลนที่ได้จากการตัด RNA จำนวน 524 โคลน และอัณฑะจำนวน 501 โคลน สำหรับในรังไข่พบว่ามากกว่า 10% เป็นยีนที่เกี่ยวข้องกับโปรตีนในผนังเซลล์ไข่ (egg membrane proteins)

Chini และคณะ (2007) ศึกษายีนแสดงออกจากตับและอวัยวะสืบพันธุ์(อัณฑะและรังไข่) ในปลาบลูฟินทูน่า โดยการสร้าง cDNA libraries ได้โคลนทั้งหมด 8,664 โคลน ประกอบด้วยโคลนที่ได้จากการตัด RNA จำนวน 2,743 โคลน จากอัณฑะจำนวน 2,907 โคลน จากตับจำนวน 3,014 โคลน อ่านลำดับนิวคลีโอไทด์ โดยมีความยาวเฉลี่ยของ cDNA 400 – 700 คู่เบส นำยีนเหล่านี้ไปเปรียบเทียบฐานข้อมูลใน GenBank (NCBI) สำหรับโคลนที่ได้จากการตัด RNA มียีนที่สำคัญ เช่น cyclin B และ cathepsins ซึ่งเป็นยีนที่เกี่ยวข้องกับการเจริญไข่และกระบวนการแบ่งเซลล์ ACP5 (acid phosphatase tartrate-resistant) เกี่ยวข้องกับการพัฒนาของตัวอ่อน AQP (กลุ่มของ aquaporins ที่เยื่อหุ้มเซลล์) มีผลต่อ follicle และ NPC2 เกี่ยวข้องกับการพัฒนาของตัวอ่อน zona pellucida proteins 2 ยีนที่เกี่ยวข้องกับการพัฒนาของ follicle เช่น zona pellucida proteins 2,3 และ ACVRL1

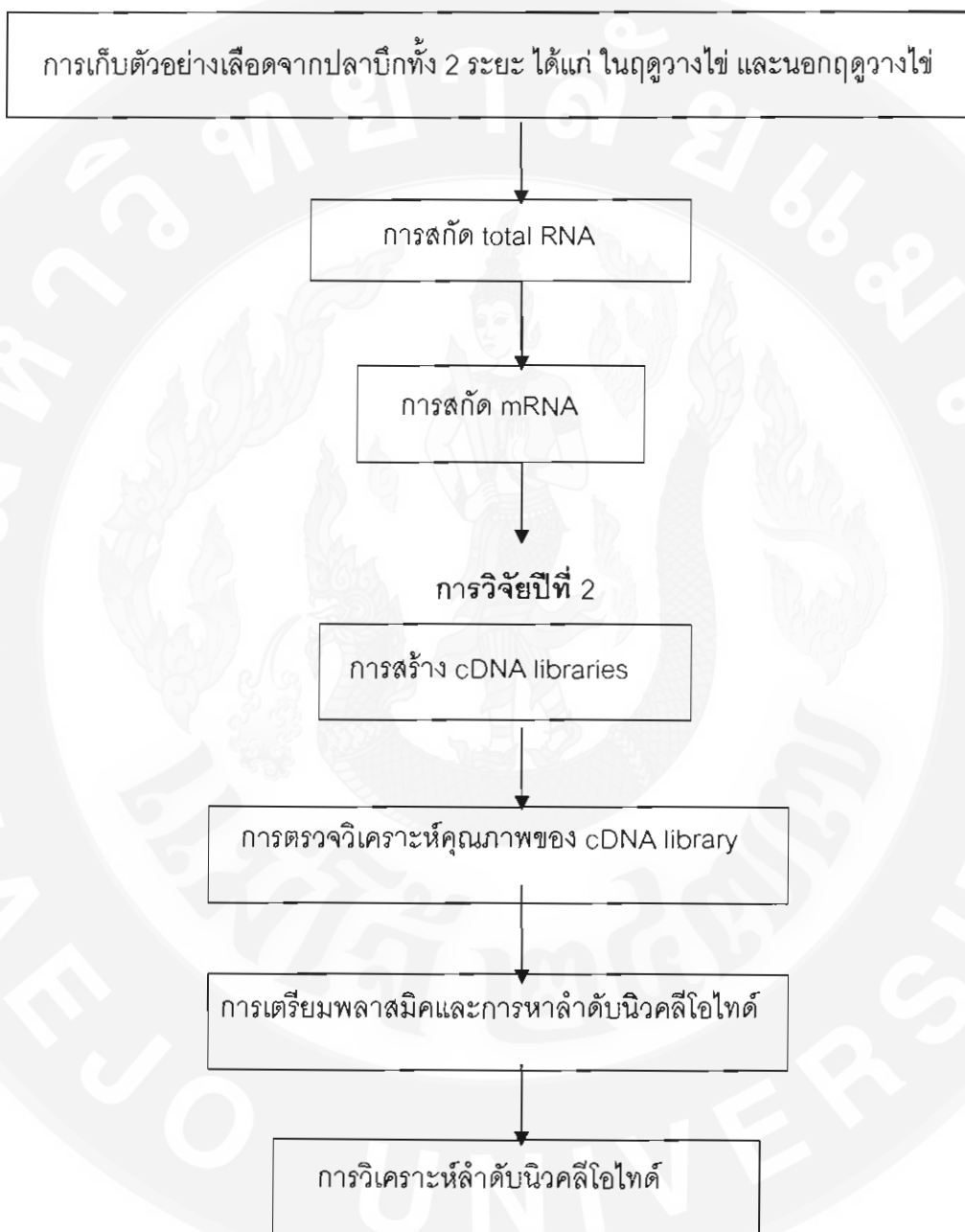
Li และคณะ (2008) ได้ศึกษาลักษณะการแสดงออกของ gonadotrophin (GTH) subunits common α, FSHβ และ LHβ ในปลากระรังดุส้ม โดยการสร้าง cDNA library จากพิทูอิทารี พับ cDNA ที่สมบูรณ์ของโปรตีนทั้ง 3 มีความยาว 647, 594 และ 574 คู่เบส จากนั้นทำการโคลนยีนที่ได้เพื่อสร้างโปรตีนลูกผสม

Karsi และคณะ (1998) ได้ศึกษา EST ใน channel catfish โดยการจัดสารสกัดจากต่อมพิทูอิทารีเพื่อกรองต้นการตกไข่ และสร้าง cDNA library จากพิทูอิทารี เมื่อเปรียบเทียบกับ

ฐานข้อมูลใน GenBank พบว่าเป็นยีนที่ทราบหน้าที่ 59% ของ EST โคลนทั้งหมด นอกจานี้ยังพบ การแสดงออกของ gonadotropin (GtH) α -subunit และ prolactin ในช่วงที่กระตุ้นให้มีการตกไข่ และระยะจากกระตุ้นการตกไข่พบ GtH α -I, GtH α -II, growth hormone, proopiomelanocortin (POMC)

Chu และคณะ (2004) ได้สร้าง cDNA library จากรังไข่平民毋เทศเพื่อศึกษา การแสดงออกของยีน ได้โคลนทั้งหมดจำนวน 768 โคลน โคลนที่มีตีเข็มเข็มใจมีขนาดมากกว่า 100 คู่เบส มีจำนวน 530 โคลน และพบยีนที่เกี่ยวข้องกับการพัฒนาและการสืบพันธุ์จำนวน 6 ยีน คือ cofilin, fibulin-4, glucosamin-6-phosphate deaminase 2 (GNPDA), MCM-6, stathmin และ zona pellucida C5 (ZPC5) นอกจานี้ยังพบยีนใหม่อีกจำนวน 9 ยีน

การวิจัยปีที่ 1



ภาพที่ 3 แผนผังการวิจัย

การวิจัยปีที่ 1

มหาวิทยาลัยแม่โจ้

MAE JO UNIVERSITY

1.1 อุปกรณ์และวิธีการ

1) การเก็บตัวอย่างเลือดแม่�ปลาบึก

เก็บตัวอย่างเลือดแม่�ปลาบึกจาก คณะเทคโนโลยีการประมงและทรัพยากรทางน้ำ มหาวิทยาลัยแม่โจ้ และจรัสฟาร์ม จังหวัดเชียงราย ในฤดูหนาวไป แล้วหลังจากนั้นโดยจะเก็บเลือดจากบริเวณเลี้นเลือดโคนหางเก็บเลือดที่จะได้ในหลอดเก็บเลือดที่มีสารป้องกันการแข็งตัวของเลือด (anticoagulante) ซึ่งประกอบด้วย 0.37% EDTA, 0.55% Citric acid, 0.88% Tri-sodium citrate, 0.263% NaCl และ 10% Glucose นำไปปั่นเรียบที่ 3,000 rpm 4°C นาน 3 นาที ทั้งสารละลายใสส่วนบน เก็บเม็ดเลือดที่ได้ใน สารป้องกันการสลายตัวของ RNA (RNA preservation reagent) ที่อุณหภูมิ -20°C

1) การสกัด total RNA

การสกัด total RNA ด้วยชุดแยก total RNA Total RNA Extraction Kit (RBC bio science, Taiwan) ตามวิธีการที่ระบุโดยบริษัทผู้ผลิต โดยชุดสกัดจะทำให้เยื่อหุ้มเซลล์แตกโดยใช้ Lysis buffer จากนั้นทำการแยก total RNAโดยการใช้ Spin column

ขั้นตอนการสกัด

- เติม trizol reagent 500 μl ใช้เข็ม 20 G ดูดสารละลายผสม เชลล์เม็ตเลือด - Trizol ขึ้นลงโดยแซในน้ำแข็งติดลบเวลา
- ปล่อยไว้ที่อุณหภูมิห้อง 5 นาที เติม chloroform 200 μl พลิกหลอดเป็นมาให้สารละลายเข้ากันประมาณ 15 วินาที ปล่อยไว้ที่อุณหภูมิห้องประมาณ 3 นาที จากนั้นนำไปปั่นเรียบที่อุณหภูมิ 4 °C ความเร็ว 15,000 rpm นาน 15 นาที
- สารละลายแยกออกเป็น 3 ชั้น ดูดเอาเฉพาะส่วนชั้นบน ซึ่งจะมีลักษณะใส ใส่ในหลอดใหม่ขนาด 1.5 ml
- นำไปปั่นตอกที่อุณหภูมิ 4 °C ความเร็วมากกว่า 15,000 rpm นาน 15 นาที
- ล้างตะกรอน RNA (gel – like pellet) ด้วย 1 มิลลิลิตร 75% Ethanol ผสมให้เข้ากันโดยใช้ vortex จากนั้นนำไปปั่นตอกที่อุณหภูมิ 4 °C ความเร็วมากกว่า 15,000 rpm นาน 5 นาที

- ระเหย ethanol เปิดฝาทิ้งไว้ประมาณ 15 นาที จากนั้นละลายตะกอน RNA ด้วย 20 ไมโครลิตร RNase – free water
- วัด OD260 โดยใช้ RNase – free water ไมโครลิตร total RNA 2 ไมโครลิตร (1:50)
- เก็บ total RNA ที่เหลือ (18 μ l) ที่ -20°C

3) การสกัด messenger RNA (mRNA)

การสกัด mRNA สกัดจาก total RNA ด้วยชุดแยก mRNA PolyATtract mRNA Isolation Systems (Promega, USA) ตามวิธีการที่ระบุโดยบริษัทผู้ผลิต ชุดสกัดจะแยก mRNA โดยอาศัย Streptavidin – Paramagnetic Particles (SA – PMPs)

ขั้นตอนการสกัด

- เตรียมตัวอย่าง โดยรวม total RNA ที่สกัดได้ 206.64 ng ใส่สารละลาย 38 μ l ปรับปริมาตรให้เป็น 500 μ l โดยใช้ RNase – Free water ใน 1.5 ml tube นำไปปั่นที่ 65°C นาน 10 นาที
- เติม 3 μ l ของ Biotinylated – Oligo(dT) Probe และ 13 μ l ของ 20XSSC ผสมเบาๆ บ่มที่อุณหภูมิห้อง จนเย็น
- เตรียม Stock Solution ดังนี้

A. 1.2 ml ของ Sterile 0.5XSSC โดยใช้ 30 μ l ของ 20XSSC กับ 1.170 ml (1,170 μ l) ของ RNase – Free Water ใน RNase –Free tube

B. 1.4 ml ของ Sterile 0.1XSSC โดยใช้ 7 μ l ของ 20XSSC กับ 1.393 ml (1,393 μ l) ของ RNase – Free Water ใน RNase –Free tube

- นำหลอด SA – PMPs พลิกหลอดเบาๆ จน SA – PMPs ให้กระジャยทั่วทั้งหลอด จากนั้นนำไปป่วยใน Magnetic stand จนกระถั้ง SA – PMPs เกาะเข้าหลอด (ประมาณ 30 วินาที) ไปเปตสารละลายใส่พิ้ง
- ล้าง SA – PMPs 3 ครั้ง ด้วย 0.5XSSC โดยนำไปป่วยใน magnetic stand จากนั้นใช้ไปเปตดูดส่วนใส่ด้านบนทิ้ง ระวัง อายุดูด SA – PMPs
- ละลาย SA – PMPs คืนด้วย 100 μ l ของ 0.5XSSC
- นำสารละลาย total RNA ใส่ในหลอดของ SA – PMPs ที่ล้างเรียบร้อยแล้ว บ่มที่อุณหภูมิห้อง นาน 10 นาที ผสมโดยการพลิกหลอดเบาๆ ทุก 1 – 2 นาที

- นำหลอดไปใส่ใน magnetic stand ดูดสารละลายน้ำหนักโดยระหังไม่ให้รบกวน SA – PMPs pellet
- ล้าง SA – PMPs จำนวน 4 ครั้ง ด้วย 0.1XSSC (300 μ l ต่อการล้างหนึ่งครั้ง) โดยตีดที่หลอดเบาๆ จนกว่า SA – PMPs จะละลายกลับมา ในการล้างครั้งสุดท้าย ให้น้ำสารละลายนอกมาให้มากที่สุดเท่าที่จะเป็นไปได้โดยไม่รบกวน SA – PMPs pellet
- ละลาย SA – PMPs pellet ด้วย 100 μ l ของ RNase Free water ผสมให้เข้ากันโดยตีดเบาๆ
- ใช้ magnetic stand ดูด SA – PMPs ไว้ จากนั้นใช้ปีปีเตเก็บ mRNA ใน sterile tube
- ทำการซัก mRNA ซ้ำโดยใส่ 150 μ l ของ RNase Free water ผสมให้เข้ากันโดยตีดเบาๆ ทำขั้นตอน 2 ซ้ำ (จะได้ปริมาณ mRNA สุทธิประมาณ 250 μ l)
- วัด OD260
- ปั่นตกรตะกอนที่ 15,000 รอบต่อนาที 4 องศาเซลเซียส นาน 10 นาที
- นำไปปีปี absolute ethanol 750 μ l (ได้เป็น ethanol 75%)
- ปั่นตกรีดที่ 15,00 รอบต่อนาที 4 องศาเซลเซียส นาน 10 นาที
- ทิ้งสารละลายน้ำส่วนบน ปล่อยให้แห้งนาน 10 นาที เติม 1 ml ของ DEPC – water เก็บที่ 80°C

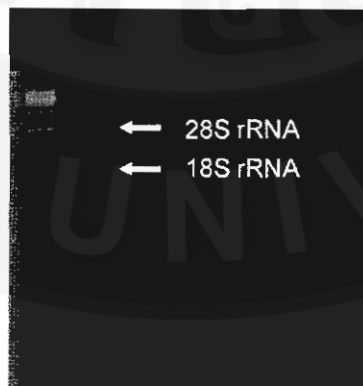
1.2 ผลการทดลองและวิจารณ์

1) การเก็บตัวอย่างเลือดแม่ปลาบีก

ได้ทำการเก็บตัวอย่างเลือดแม่ปลาบีกจากน่องเลี้ยงคณะเทศโนโลยีการประมงและทวัพยากรทางน้ำ และจังหวัดฟาร์ม อ.พาน จ.เชียงราย โดยเก็บที่ช่วงเวลาที่แม่ปลา มีการวางไข่ และช่วงเวลากอนฤตวางไข่ ปรากฏว่า ได้คุณภาพของตัวอย่างเลือดที่สามารถนำมาสกัด total RNA และนำไปวิเคราะห์ต่อไป โดยในปีแรกได้เพียงอย่างละ 1 ตัวอย่างเท่านั้น ทั้งนี้อาจเนื่องจากสภาวะที่ปลาถูกเจ้าเลือดไม่เหมาะสม เช่น จับในช่วงปลายช่วงอุณหภูมิสูง ปลาจะมีความเครียดจากการถูกจับ เป็นต้น ต่อมาในปีที่ 2 จึงได้ทำการเก็บตัวอย่างอีกครั้ง จึงจะได้ตัวอย่างที่เพียงพอสำหรับใช้ในการทดลอง

2) การเตรียม mRNA จากตัวอย่างเลือด

จากนั้นได้นำตัวอย่างเลือดที่ได้ไปสกัดด้วย Total RNA Extraction Kit (RBC bio science, Taiwan) และสกัดแยก mRNA ให้บริสุทธิ์ด้วย PolyATtract mRNA Isolation Systems (Promega, USA) และนำ mRNA ที่แยกได้มาทดสอบคุณภาพ โดยการทำ electrophoresis เพื่อดูขนาดของ mRNA จากนั้นนำไปเก็บที่ -80°C เพื่อใช้ในการสร้าง cDNA libraries ต่อไป



ภาพที่ 4 การทดสอบคุณภาพของ mRNA ที่แยกได้จาก total RNA



การตรวจสุขภาพของปลาบีก่อนเก็บตัวอย่างเลือด



การเจาะเลือดจาก caudal vessel

ภาพที่ 5 การเก็บตัวอย่างเลือดแม่ปลาบีก

การวิจัยปีที่ 2



2.1 อุปกรณ์และวิธีการ

2.1 การสร้าง Complementary DNA library (cDNA library)

การสร้าง cDNA libraries ด้วยชุดสร้าง cDNA libraries CloneMiner cDNA Library Construction Kit (Invitrogen, USA) ตามวิธีการที่ระบุโดยบริษัทผู้ผลิต ชุดสร้าง cDNA libraries จะใช้ mRNA เริ่มต้น 1 – 5 ไมโครกรัม เพื่อสร้าง cDNA และใช้ competent cell เป็น ElectroMAX DH10B เพื่อยิงดีเอ็นเอพาหะ pDONR222 ด้วยเครื่อง electroporation (BioRad Gene Pulser II, USA) โดยมีขบวนการดังนี้

Priming Reaction

- เจือจาง mRNA ด้วย DEPC – treated water ในหลอด PCR หรือหลอด 1.5 ml โดยให้มี mRNA เริ่มต้นประมาณ 1-5 µg
- ใส่ Biotin – attB2 – Oligo(dT) primer (30 pmol/ul) และ 10 mM (each) dNTPs อย่างละ 1 ㎕ผสมให้เข้ากันโดยปีเปตเบาๆ และ centrifuge
- บ่มที่ 65 °C นาน 5 นาที
- ทำให้เย็นที่ 45 °C นาน 2 นาที
- นำไปใส่ใน priming reaction tube

First stand reaction

- ปีเปต 5X First Strand buffer 4 ㎕, 0.1 M DTT 2 ㎕ และ DEPC – treated water 1 ㎕ ลงในหลอดใหม่
- ผสมโดยปีเปตเบาๆ จากนั้นนำไป centrifuge
- ปีเปตใส่ใน Priming reaction tube นำไปบ่มที่ 45 °C นาน 2 นาที
- จากนั้นเติม SuperScript II RT ในขณะที่หลอดยังอยู่ใน thermocycler หรือ water bath
- ผสมโดยปีเปตเบาๆ และให้หลอดอยู่ใน thermocycler หรือ water bath ระวังไม่ให้เกิดฟอง นำไปบ่มที่ 45 °C นาน 60 นาที

Second strand reaction

- นำหลอดที่ได้จากขั้น first strand reaction เก็บในน้ำแข็ง และเติมสารดังนี้

| | |
|-------------------------------------|--------|
| DEPC-treated water | 92 ul |
| 5X Second Strand Buffer | 30 ul |
| 10 mM (each) dNTPs | 3 ul |
| E. coli DNA Ligase (10 U/ ul) | 1 ul |
| E. coli DNA Polymerase I (10 U/ ul) | 4 ul |
| E. coli RNase H (2 U/ ul) | 1 ul |
| Total volume | 151 ul |

- ผสมเบาๆ โดยใช้ไบเปปต์ และ centrifuge นำไปบ่มที่ 16 °C นาน 2 ชั่วโมง
- เติม 2 ul ของ T4 DNA polymerase เพื่อสร้าง Blunt – end ผสมเบาๆโดยใช้ไบเปปต์ และ ปั่นให้ยิ่ง นำไปบ่มที่ 16 °C นาน 5 นาที
- เติม 10 ul ของ 0.5 EDTA pH 8.0 เพื่อหยุดปฏิกิริยา

Phenol/Chloroform Extraction

- เติม 160 ul phenol:chloroform:isoamyl alcohol (25:24:1)
- เขย่าตัวอย่างมือนาน 30 วินาที
- ปั่นให้ยิ่งที่อุณหภูมิห้อง นาน 5 นาที 14,000 rpm
- ดูดสารละลายส่วนบนใส่หลอด 1.5 ml หลอดใหม่

Ethanol Precipitation

- นำส่วนน้ำเติมสารดังนี้

| | | |
|---------------------|-----|----|
| Glycogen (20 ug/ul) | 1 | ul |
| 7.5 M NH4OAc | 80 | ul |
| 100% ethanol | 600 | ul |
- ข่ายหลอดมาไว้ในน้ำแข็งแห้งหรือ -80 °C นาน 10 นาที
- ปั่นให้ยิ่งที่ 4 °C 14,000 rpm นาน 25 นาที
- ดูด supernatant ทิ้งโดยระวังไม่ให้รบกวน cDNA pallet
- เติม 150 ml 70% ethanol
- ปั่นให้ยิ่งที่ 4 °C 14,000 rpm นาน 2 นาที
- ดูด supernatant ทิ้งให้มากที่สุดเท่าที่จะเป็นไปได้โดยระวังไม่ให้รบกวน cDNA pallet ทำให้แห้งโดยทิ้งไว้ที่อุณหภูมิห้อง 5- 10 นาที

- ละลาย cDNA pellet ด้วย 18 μ l DEPC – treated water ละลายโดยใช้ไปเปปต์ดูร์ชั่นลง ประมาณ 30 – 40 ครั้ง
- ปั่นให้ยิ่ง แล้วขยับลงหลอดใหม่ และเก็บในน้ำแข็ง

Stopping the Ligation Reaction

- นำหลอดจากขั้นที่แล้วมาบ่มที่ 70 °C นาน 10 นาที เพื่อหยุดการทำงานของ ligase
- ขยับลงน้ำแข็ง

Setting Up the Column

- วาง column บน stand
- วาง rack ที่ประกอบด้วยหลอด 1.5 ml ใต้ column
- Outlet ของ column ควรอยู่ห่างจาก 1.5 ml tube ประมาณ 1 – 2 cm
- ต้องสามารถเคลื่อนย้าย rack ได้อย่างอิสระ

Washing the Column

- เปิดฝาด้านบน และด้านล่างเพื่อให้ ethanol ไหลออกจนหมด
- เมื่อ column หยุดไหล ให้ไปเปต 0.8 ml TEN buffer ลงใน Column ปล่อยให้ไหลออก
- ล้างข้ามกัน 3 ครั้ง (ล้างทั้งหมด 4 ครั้ง) ปล่อยให้แห้ง

Collecting Fractions

- นำ column ใส่ในหลอดที่ 1 โดยให้ห่างจากก้นหลอด 1 – 2 cm
- เติม 100 μ l TEN buffer ลงใน cDNA 50 μ l จากขั้นที่แล้ว ผสมโดยไปเบตเบาๆ จากนั้นนำไปปั่นให้ยิ่ง
- ใส่ตัวอย่างลงใน column และปล่อยให้เข้าสู่ resin bed เก็บ effluent ลงในหลอดที่ 1 รอจนหลอดแห้ง
- ขยับหลอดที่ 2 มาใส่ใต้ column outlet จากนั้นเติม 100 μ l TEN buffer ลงใน column เก็บ effluent ลงในหลอดที่ 2 รอจนหลอดแห้ง
- เติม 100 μ l ของ TEN buffer และเก็บตัวอย่างจนครบ 20 หลอด

Preparing pEXP7 – tet Control DNA

- ทำ Serial dilution ของ pEXP7 – tet control DNA ใน TE buffer โดย ความเข้มข้น สุดท้ายเป็น; 25, 10, 5 และ 1ng/ μ l ตามลำดับ
- DNA standards นี้เก็บไว้ที่ -20 °C ได้นาน 1 เดือน

DNA Spotting Assay

- warm plate แล้ว หยด 1 ul ของแต่ละความเข้มข้นของ pEXP7 – tet control DNA dilution
- หยด 1 ul ของแต่ละตัวอย่างของ cDNA ผึ่งให้แห้งที่อุณหภูมิห้อง 5 – 15 นาที เก็บจากนั้นนำมาตรวจใต้แสง UV จากนั้นถ่ายภาพ
- ทำการรวม cDNA ที่ต้องการ

Ethanol Precipitation

- นำ cDNA ที่ได้จากการรวมกันมาเติมสารต่างๆ ดังนี้

| | |
|---------------------------|-------------|
| Glycogen (20 ug/ul) | 1 ul |
| 7.5 M NH ₄ OAc | 0.5 volume |
| 100% ethanol | 2.5 volumes |
- ข้ายหลอดมาไว้ในน้ำแข็งแห้ง หรือ -80 °C นาน 10 นาที ปั่นเหวี่ยงที่ 4 °C 14000 rpm นาน 25 นาที
- ไปเปต supernatant ทิ้ง โดยพยายามไม่รบกรน cDNA pellet เติม 150 ul 70% ethanol ปั่นเหวี่ยงที่ 4 °C 14000 rpm นาน 2 นาที ไปเปต supernatant ทิ้ง
- เติม 150 ul 70% ethanol ปั่นเหวี่ยงที่ 4 °C 14000 rpm นาน 2 นาที ไปเปต supernatant ทิ้ง ปล่อยให้แห้งที่อุณหภูมิห้อง นาน 5 – 10 นาที
- ละลาย cDNA pellet ด้วย 4.5 ul TE buffer โดยใช้ไปเปตเบาๆ 30 – 40 ครั้ง ข้ายลงหลอดใหม่

Preparing Aliquots for the Plate Spotting Assay

- ไปเปต 0.5 ul cDNA จากขั้นที่แล้วลงหลอดใหม่ เติม 4.5 ul TE buffer เพื่อ ทำ 1: 10 dilution
- ไปเปต 2.5 ul จาก 1: 10 dilution ลงหลอดใหม่ เติม 2.5 ul TE buffer เพื่อ ทำ 1: 20 dilution

Estimating the cDNA Yield

- warm plate แล้ว หยด 1 ul ของแต่ละความเข้มข้นของ pEXP7 – tet control DNA dilution หยด 1 ul ของแต่ละตัวอย่างของ cDNA ผึ่งให้แห้งที่อุณหภูมิห้อง 5 – 15 นาที
- นำมาตรวจใต้แสง UV จากนั้นถ่ายภาพ
- คำนวณหา total cDNA yield

Electroporation

- นำไปปัต 50 ul ElectroMAXDH10B. competent cells ลงในหลอดที่มี DNA ไปปะตื้นลงเบาๆ 1- 2 ครั้งระวังอย่าให้เกิดฟอง ย้ายลง cold 0.1 cm cuvette โดยใช้ไปปะตแตะที่ขอบ cuvette ห้ามไม่ให้เกิดฟอง
- Electroporate ตามที่ตั้งไว้ หากเกิด Arc ให้ทิ้งทันที เติม 1 ml ของ S.O.C medium ลงใน cuvette ไปปะตใส่ 15 ml snap-cap tubes ทำซ้ำจนครบทุก Aliquout
- นำไปเยื่่า ที่ 37 °C 225-250 rpm อย่างน้อย 1 ชั่วโมง
- เติม sterile freezing media ไปปะต 200 ul ของ ทุกด้ววย่างรวม control ลงใน 1.5 ml tube เพื่อหา titer
- นำปริมาณที่เหมาะสมไป spread plate ปั่นที่ 37 °C แล้วเก็บ EST clones

2.2 การตรวจวิเคราะห์คุณภาพของ cDNA library

การวิเคราะห์คุณภาพของ cDNA library ด้วยการวิเคราะห์ขนาดของชิ้นยีนที่สูงใจด้วยเอนไซม์ตัดจำเพาะ BsrG I และการทำ *in situ* colony PCR ด้วย M13 reverse primer และ M13 forward primer

2.3 การเตรียมพลาสมิดและการหาลำดับนิวคลีโอไทด์

โดยนำ EST clone ที่แยกได้มาเลี้ยงในอาหารเหลว LB (Luria-Bertani) เป็นเวลา 24 ชั่วโมง จากนั้นแยกพลาสมิดโดยใช้ชุดแยก Hiyield Plasmid Mini Kit (RBC bio science, Taiwan) ตามวิธีการที่ระบุโดยบริษัทผู้ผลิต จากนั้นอ่านลำดับนิวคลีโอไทด์ด้วย universal primer คือ M13 reverse primer และ M13 forward primer ซึ่งอ่านด้วยเครื่อง ABI 3070 DNA Analyzer

2.4 การวิเคราะห์ลำดับนิวคลีโอไทด์

การวิเคราะห์ความเหมือนของลำดับนิวคลีโอไทด์ โดยเปรียบเทียบกับฐานข้อมูล โปรดีนใน GenBank โดยโปรแกรม BLASTX ใน NCBI (<http://blast.ncbi.nlm.nih.gov/Blast.cgi>) และวิเคราะห์ตำแหน่งอนุรักษ์ต่างๆ ด้วย conserved domain search database cdd -- 37407 PSS-Ms ใน NCBI (<http://www.ncbi.nlm.nih.gov/Structure/cdd/wrpsb.cgi>)

2.2 ผลการทดลองและวิจารณ์

1) ยืนยันแสดงออกในเลือดของแม่ปลาบึก

จากการวิเคราะห์ยืนยัน EST clones ทั้งหมด 66 โคลน ของเลือดแม่ปลาบึก 2 ตัว ในระยะตุดుวางไว้ และนอกรวงไว้ พบร่วมกับรูปแบบยืนยันแสดงออกของทั้งสองแตกต่างกันอย่างชัดเจน โดยในระยะวางไว้ มียืนกลุ่มที่พบในสัดส่วนมาก ได้แก่ ribosomal proteins translation factors และยืนที่เกี่ยวข้องกับเอนไซม์ ส่วนในระยะหลังวางไว้ มียืนที่พบในสัดส่วนมาก ได้แก่ ribosomal proteins receptors and reception-associated proteins และ development and cell-cycle-related proteins อย่างไรก็ตามยืนที่ไม่รู้จักของทั้งสองตัวอย่างมีสัดส่วนที่สูง 30-40% (ตารางที่ 1-3)

ที่น่าสนใจ คือ พบร่วมที่เกี่ยวข้องกับการตกไว ได้แก่ activin A receptor และ cystatin precursor ซึ่งพบเฉพาะในระยะวางไว้ เท่านั้น ได้ชัดว่าในระยะนี้พบร่วมที่เกี่ยวข้องกับระบบภูมิคุ้มกันสูง เช่นกัน (ตารางที่ 2-3) ยืนของโปรตีนที่เกี่ยวข้องกับระบบภูมิคุ้มกัน ได้แก่ III-FBPL precursor (F-type lectin) intercellular adhesion molecule 2 (ICAM2) MHC class II beta chain และ MHC class II alpha chain ก็มีความแตกต่างกัน เช่นกัน โดย 3 ชนิดแรก พบร่วมในตัวอย่างเลือดปลาบึกในตุดుวางไว้ ส่วนชนิดหลัง พบร่วมในตัวอย่างเลือดนอกตุดుวางไว้

นอกจากนี้ยังสังเกตได้ว่า ยืนในกลุ่มอื่นๆ ก็มีความแตกต่าง เช่นกัน คือ กลุ่มยืนที่แสดงออกมากกว่าในเลือดแม่ปลาบึกระหว่างตุดుวางไว้ ได้แก่ ยืนกลุ่ม ribosomal proteins, immune-relate proteins, enzymes and enzyme activity regulators, translational factors และ secretory proteins and others ส่วนกลุ่มยืนที่แสดงออกมากกว่าในเลือดแม่ปลาบึกนอกตุดుวางไว้ ได้แก่ receptors and reception-associated proteins, transcriptional factors, DNA and RNA binding proteins และ development and cell-cycle-related proteins

อย่างไรก็ตาม เนื้องจาก EST clones ของแต่ละ cDNA libraries มีจำนวนน้อยเพียง 38 และ 28 โคลนเท่านั้น ซึ่งสังเกตได้จาก ยังไม่พบร่วมในกลุ่ม hormones and their regulatory proteins และจำนวนที่เหมาะสมมากกว่า 150 โคลนของแต่ละตัวอย่าง จึงควรมีการหาลำดับเบส EST clones ของแต่ละตัวอย่างปลาบึกเพิ่มเติมให้ได้จำนวนที่เหมาะสม

ตารางที่ 1 ยีนรู้จักนิดในเลือดปลาบึงเพศเมียะระหว่างฤดูวางไข่

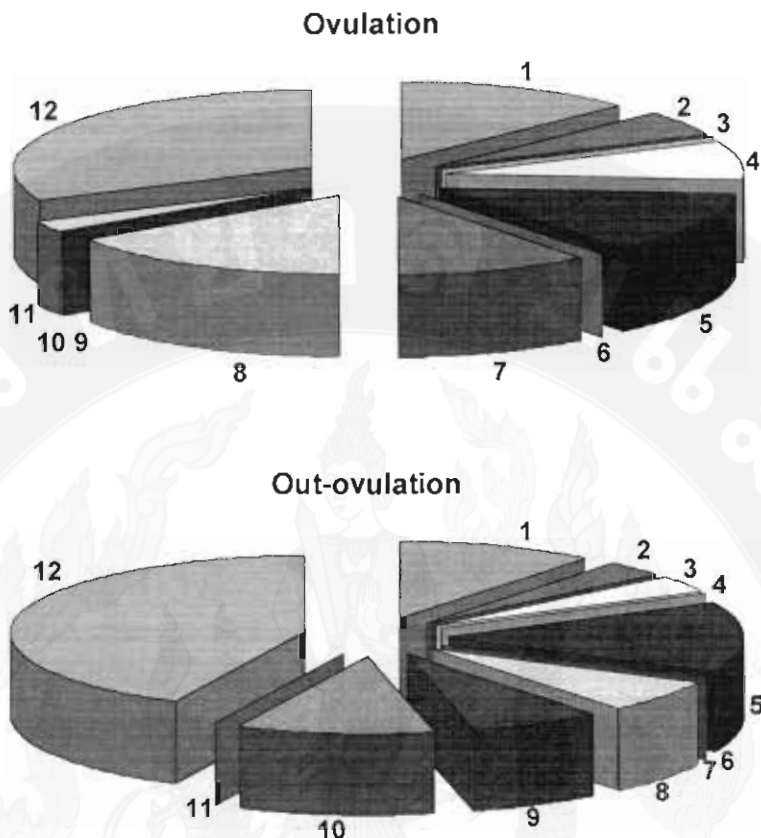
| Clone No. | Accession No. | Putative identification | Closest species | Accession No. | Identity |
|------------------------------------|------------------|--|--------------------|------------------|---------------|
| <i>Ribosomal protein</i> | | | | | |
| O1029 | HO224403 | ribosomal protein L24 | Zebra fish | gi:37747968 | 54/72 (75%) |
| O2007 | HO224407 | ribosomal protein L23a | Zebra fish | gi:335539 | 37/39 (94%) |
| O5010 | HO224423 | ribosomal protein L7 | Channel catfish | gi:336710 | 69/92 (75%) |
| O2040 | HO224417 | 60S acidic ribosomal protein P1 | Zebrafish | gi:336719 | 37/39 (94%) |
| O2051 | HO224419 | 60S ribosomal protein L37 | Black-legged tick | gi:215503610 | 30/59 (50%) |
| <i>Immune-relate</i> | | | | | |
| O2089 | HO224421 | MHC class II beta chain | Channel catfish | gi:1763555 | 171/240 (70%) |
| O1004 | HO224396 | FBP32 precursor (F-type lectin) | Zebra fish | gi:139949081 | 85/142 (59%) |
| O1005 | HO224397 | intercellular adhesion molecule 2 | Human | gi:62089342 | 23/25 (92%) |
| <i>Ovulation</i> | | | | | |
| O1024 | HO224402 | activin A receptor | Zebra fish | gi:24111232 | 203/218 (93%) |
| O5030 | HO224426 | cystatin precursor | rainbow smelt | gb:ACO09585.1 | 37/73 (50%) |
| <i>Translational factors</i> | | | | | |
| O5048 | HO224430 | translation elongation factor 1 beta 2 | Zebrafish | gi:335370 | 133/170 (78%) |
| O2020 | HO224411 | translation elongation factor 1 beta 2 | Zebrafish | gi:335370 | 130/170 (78%) |
| O1037 | HO224405 | elongation factor-1 alpha | Zebra fish | gi:53734016 | 29/32 (90%) |
| O5029 | HO224425 | elongation factor-1 alpha | Common carp | gi:28628941 | 31/51 (60%) |
| <i>Transport</i> | | | | | |
| O2009 | HO224408 | alpha-globin | Common carp | gi:2208885 | 39/46 (84%) |
| O2031 | HO224416 | alpha-globin | Common carp | gi:30507 | 58/68 (85%) |
| O2098 | HO224422 | alpha-globin | Common carp | gi:2208885 | 39/46 (84%) |
| O5031 | HO224427 | beta-globin | Korean catfish | gi:13241083 | 58/75 (77%) |
| O5045 | HO224428 | glucose transporter X | Grass carp | gi:30025447 | 36/71 (50%) |
| <i>Metabolism</i> | | | | | |
| O1006 | HO224398 | pyruvate dehydrogenase alpha 2 | Human | gi:157696476 | 73/77 (94%) |
| O2012 | HO224409 | pyruvate dehydrogenase beta | Horse | gi:100050581 | 107/161 (66%) |
| O1011 | HO224399 | cytochrome c oxidase subunit III | Smallmouth bass | gi:209427679 | 28/49 (57%) |
| <i>Signaling and communication</i> | | | | | |
| O2072 | HO224420 | kinase C and casein kinase substrate | zebrafish | gi:404601 | 34/82 (41%) |

ตารางที่ 2 ยีนรู้จักนิดในเลือดปลาบึงเพศเมียนออกถูกร่างไข่

| Clone No. | Accession No. | Putative identification | Closest species | Accession No. | Amino identity |
|---|---------------|--|-------------------|---------------|----------------|
| <i>Ribosomal protein</i> | | | | | |
| A1009 | HO224382 | ribosomal protein L5 | African lungfish | gi:44966839 | 42/79 (53%) |
| A1026 | HO224386 | ribosomal protein L37 | Human | gi:119576406 | 31/34 (91%) |
| A1027 | HO224387 | ribosomal protein L11 | Black-legged tick | gi:67084007 | 46/56 (82%) |
| <i>Translational factors</i> | | | | | |
| A1034 | HO224392 | elongation factor-1 alpha | Common carp | gi:28628941 | 31/51 (60%) |
| A2003 | HO224393 | zinc finger | Mouse | gi:126328549 | 61/69 (88%) |
| <i>Transport</i> | | | | | |
| A1017 | HO224385 | alpha-globin | Common carp | gi:2220885 | 21/23 (91%) |
| A1007 | HO224381 | beta globin | Korean catfish | gi:13241083 | 39/46 (84%) |
| A3011 | HO224394 | hemoglobin beta | Korean catfish | gi:13241983 | 61/83 (73%) |
| A1015 | HO224384 | hemoglobin-beta | Channel catfish | gi:24111232 | 17/19 (89%) |
| <i>Metabolism</i> | | | | | |
| A1012 | HO224383 | ubiquinol-cytochrome c reductase core I | Rainbow trout | gi:18496665 | 102/166 (61%) |
| A1028 | HO224388 | 1-acylglycerol-3-phosphate O-acyltransferase 3 | Zebrafish | gi:47087391 | 53/68 (77%) |
| <i>Internal/external structure and motility</i> | | | | | |
| A1006 | HO224380 | alpha 3 actin | Amberjack | gi:47550655 | 17/22 (77%) |
| A1030 | HO224390 | WW domain binding protein 2 | Channel catfish | gi:86370962 | 124/145 (85%) |
| <i>Other</i> | | | | | |
| A1032 | HO224391 | ORF2-encoded protein | Zebrafish | gi:77403694 | 17/48 (35%) |

ตารางที่ 3 เปรียบเทียบยืนแสดงออกในเลือดปลาบึกเพศเมียระหว่างฤดูวางไข่และนอกรวงไข่

| Putative identification | Closest species | Accession No. | Amino identity | Frequency | |
|---|-------------------|---------------|----------------|-----------|---------------|
| | | | | Ovulation | Out ovulation |
| Ribosomal protein | | | | | |
| ribosomal protein L5 | African lungfish | gi:44966839 | 42/79 (53%) | - | 2 |
| ribosomal protein L7 | Channel catfish | gi:336710 | 69/92 (75%) | 1 | - |
| ribosomal protein L11 | Black-legged tick | gi:67084007 | 46/56 (82%) | - | 1 |
| ribosomal protein L23a | Zebra fish | gi:335539 | 37/39 (94%) | 1 | - |
| ribosomal protein L24 | Zebra fish | gi:37747968 | 54/72 (75%) | 1 | - |
| 60S Acidic ribosomal protein P1 | Zebrafish | gi:336719 | 37/39 (94%) | 1 | - |
| 60S Ribosomal protein L37 | Human | gi:119576406 | 31/34 (91%) | 1 | 1 |
| Immune-relate | | | | | |
| FBP32 precursor | Zebra fish | gi:139949081 | 85/142 (59%) | 1 | - |
| intercellular adhesion molecule 2 | Human | gi:62089342 | 23/25 (92%) | 1 | - |
| MHC class II beta chain | Channel catfish | gi:1763555 | 157/200 (78%) | 1 | - |
| Ovulation | | | | | |
| activin A type II like 1 receptor | Zebra fish | gi:24111232 | 203/218 (93%) | 2 | - |
| cystatin precursor | Northern pike | gb:ACO09585.1 | 37/73 (50%) | 1 | - |
| Translational factors | | | | | |
| elongation factor-1 alpha | Zebra fish | gi:53734016 | 29/32 (90%) | 2 | 1 |
| eukaryotic translation elongation factor 1 beta 2 | Zebrafish | gi:335370 | 133/170 (78%) | 2 | - |
| zinc finger | Mouse | gi:126328549 | 61/69 (88%) | - | 1 |
| Transport | | | | | |
| alpha-globin | Common carp | gi:2220885 | 21/23 (91%) | 3 | 1 |
| beta-globin | Korean catfish | gi:13241083 | 39/46 (84%) | 1 | 3 |
| glucose transporter X | Grass carp | gi:30025447 | 36/71 (50%) | 1 | - |
| Metabolism | | | | | |
| cytochrome c oxidase subunit III | Smallmouth bass | gi:209427679 | 28/49 (57%) | 1 | - |
| pyruvate dehydrogenase alpha 2 | Human | gi:157696476 | 73/77 (94%) | 1 | - |
| pyruvate dehydrogenase beta | Horse | gi:100050581 | 107/161 (66%) | 1 | - |
| ubiquinol-cytochrome c reductase | Rainbow trout | gi:18496665 | 102/166 (61%) | - | 1 |
| 1-acylglycerol-3-phosphate O-acyltransferase 3 | Zebrafish | gi:47087391 | 53/68 (77%) | - | 1 |
| Internal/external structure and motility | | | | | |
| alpha 3 actin | Amberjack | gi:47550655 | 17/22 (77%) | - | 1 |
| WW domain binding protein 2 | Channel catfish | gi:86370962 | 124/145 (85%) | - | 1 |
| Singnaling and communication | | | | | |
| protein kinase C and casein kinase substrate | Zebrafish | gi:404601 | 34/82 (41%) | 1 | - |
| Other | | | | | |
| ORF2-encoded protein | Zebrafish | gi:77403694 | 17/48 (35%) | - | 1 |
| Unknown genes | | | | | |
| unknown genes | | | | 12 | 12 |



ภาพที่ 6 สัดส่วนยืนยันแสดงของในเลือดแม่ป่าบีกระหว่างฤดูร้อนไปและนอกฤดูร้อนไป

กลุ่มต่างๆ ของโปรตีนจากยืนแปรรหัส และสัดส่วนร้อยละ ดังนี้

| กลุ่มของโปรตีนจากยืนแปรรหัส | Ovulation | Out-ovulation |
|--|-----------|---------------|
| 1. ribosomal proteins | 13.16 | 10.71 |
| 2. immune-relate proteins | 7.89 | 3.57 |
| 3. structural proteins | 0 | 3.57 |
| 4. ovulate proteins | 7.89 | 0 |
| 5. receptors and reception-associated proteins | 10.53 | 14.29 |
| 6. hormones and their regulatory proteins | 0 | 0 |
| 7. enzymes and enzyme activity regulators | 10.53 | 0 |
| 8. translational factors | 15.79 | 7.14 |
| 9. transcriptional factors, DNA and RNA binding proteins | 0 | 7.14 |
| 10. development and cell-cycle-related proteins | 0 | 10.72 |
| 11. secretary proteins and others | 2.63 | 0 |
| 12. unknowns | 31.58 | 42.86 |

2) ยืนที่เกี่ยวข้องกับการตกไข่

จาก EST clones หั้งหมดที่ได้พบว่า มีจำนวน 2 EST clones ที่คาดว่าเป็นโปรตีนเกี่ยวข้องกับโปรตีนการตกไข่ 2 ชนิด ดังรายละเอียด ต่อไปนี้

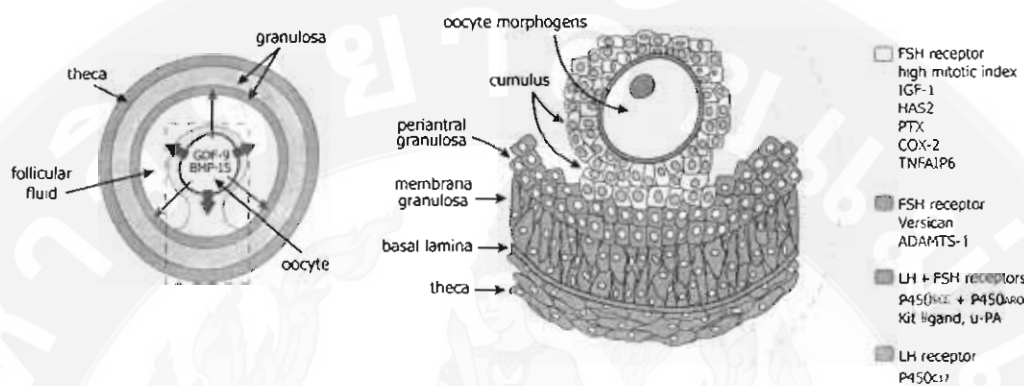
Activin A receptor

activin A receptor หรือ activin type I receptor (ACVR1) หรือ ALK-2 Activins เกี่ยวข้องกับกระบวนการเจริญเติบโตของตัวอ่อนและเป็น differentiation factors ซึ่งจัดอยู่ในกลุ่มของ transforming growth factor-beta (TGF beta) superfamily หน้าที่เป็นโปรตีนส่งสัญญาณ (signaling proteins) activins ส่งสัญญาณผ่าน heteromeric complex ของ receptor serine kinases ซึ่งประกอบด้วย type I และ type II receptors โดย type I receptor มีความสำคัญในการเกาะจับของ activin ส่วน type II receptor เป็นส่วนช่วยในการจับ และเกี่ยวข้องโดยตรงกับกระบวนการ SMAD (ภาพที่ 9) ซึ่งมีความสำคัญอย่างมากในการสร้างเซลล์ใหม่

Hillier (1991) รายงานว่า โปรตีนชนิดนี้มีผลต่อการควบคุมการหลังสาร follicle-stimulating hormone (FSH) ในกระบวนการตกไข่ในมนุษย์ Williams และ Erickson (2008) ระบุว่า activin A receptor ในกระบวนการ preantral folliculogenesis ซึ่งเป็นการพัฒนาของ follicle ระยะแรก เกิด activin autocrine/paracrine mechanism กลไกนี้เกิดที่ส่วน granulosa cells และ periantral granulose cells เป็นกระบวนการกระตุ้นการจับของ FSH เพื่อพัฒนาการตกไข่ต่อไป (ภาพที่ 8)

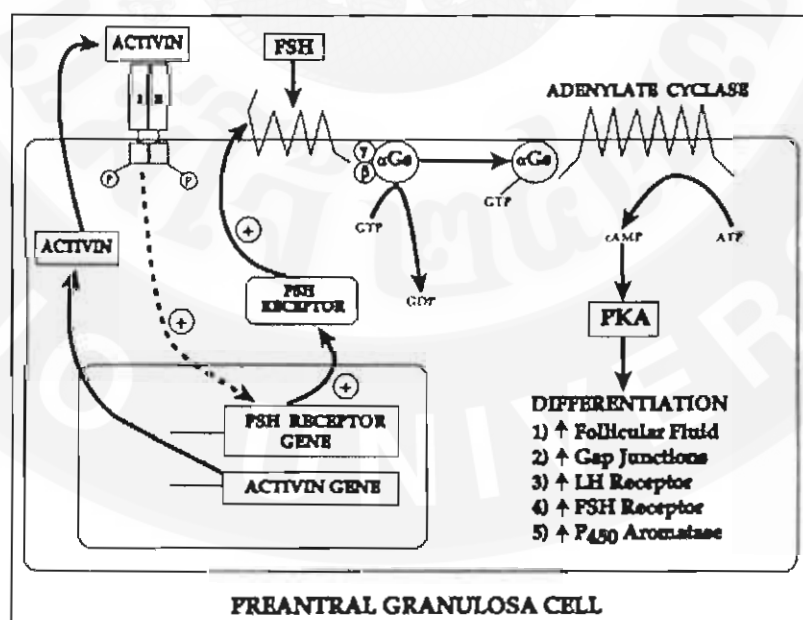
activin A receptor จากปลาบึกมีความเหมือนกับยีนี้ของปลาแม่น้ำลาย (*Danio rerio*) 93% (203/218 amino acids) ที่ด้าน C-terminus ลำดับที่ 272-489 ดังภาพที่ 10 โดยมีตำแหน่งอนุรักษ์ต่างๆ ได้แก่ ATP binding site, substrate binding site (ภาพที่ 11A) และ Protein Kinases (PKs), catalytic (c) domain (ภาพที่ 11B) ที่ด้าน N-terminus

เมื่อทำการเปรียบเทียบลำดับเบสของอะมิโนแอซิดของ activin A receptor ของสัตว์เลี้ยงลูกด้วยนมต่างๆ (ภาพที่ 12) พบว่า โปรตีนนี้ของปลาบึกมีตำแหน่ง motif สำคัญทั้ง 2 ตำแหน่ง คือ Protein kinases ATP-binding motif site (PK site) ที่ด้าน N-terminus และ Serine/Threonine protein kinases motif site (S/T site) ที่ด้าน C-terminus



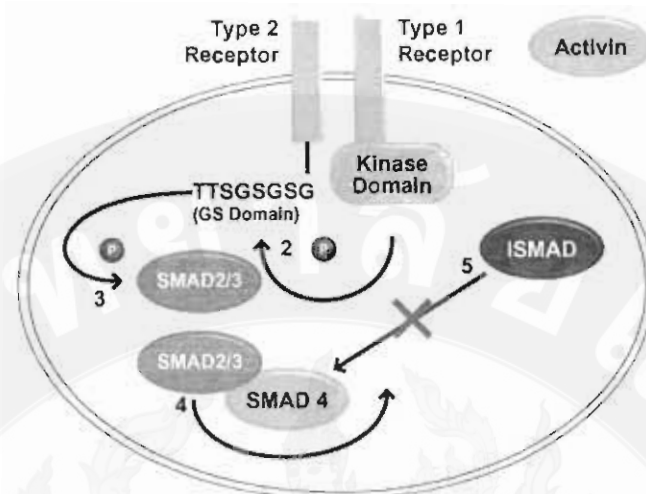
ภาพที่ 7 An oocyte morphogen gradient influences granulosa cell phenotypes

ที่มา : Erickson and Shimasaki, 2000



ภาพที่ 8 กลไก activin autocrine/paracrine mechanism เพื่อพัฒนาการตอกไข่

ที่มา : Erickson, 1997



ภาพที่ 9 Activin/SMAD signaling pathway

ที่มา : www.abcam.com/index.html?pageconfig=resource&rid=11242&pid=10039

```
>ref|NP_705929.1| activin A receptor type II-like 1 [Danio rerio]
gb|AAM53074.1|AF435024_1 serine/threonine kinase receptor [Danio rerio]
gb|AAM53075.1|AF435025_1 serine/threonine kinase receptor [Danio rerio]
Length=499

GENE ID: 266753 acvr1l1 | activin A receptor type II-like 1 [Danio rerio]
(10 or fewer PubMed links)

Score = 418 bits (1074), Expect = 2e-115
Identities = 203/218 (93%), Positives = 211/218 (96%), Gaps = 0/218 (0%)
Frame = +3

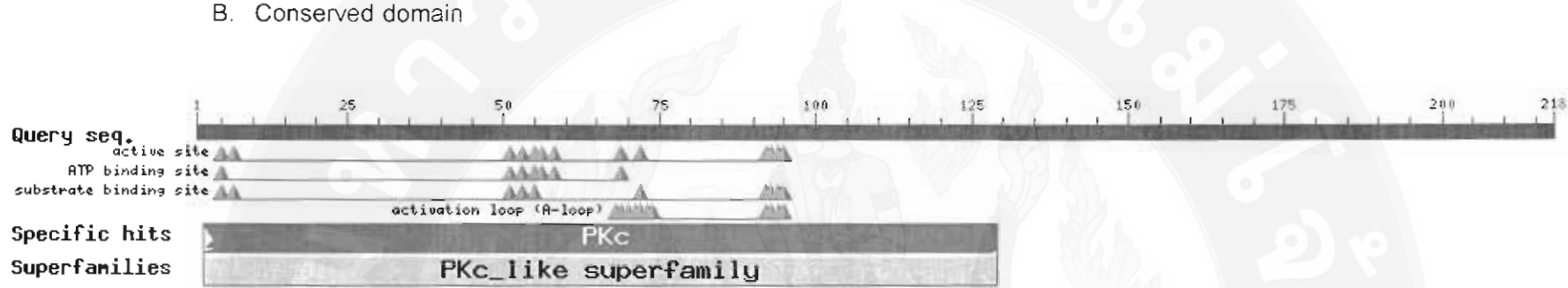
Query   3      HELGSLYDFLQYNTLDPEACLCMCLSIASGLVHLHTEILTTQGKPAIAHRDLKSRNIVLK  182
Sbjct  272      HELGSLYDFLQY+TLDPE CL MCLSIASGLVHLHTEIL+TQGKPAIAHRDLKSRNIVLK  331
Query   183      RNGQCCIADLGLAVIHSQSNDYLDVGNNPRVGTKRYMAPEVLDESIRVDIFESYKQTDIW  362
Sbjct  332      RNGQCCIADLGLAVIHSQS TDYLDVG NPRVGTKRYMAPEVLDE+IRVD+FESYKQTDIW  391
Query   363      ALGLVLWEITRRTIVNGIVEEYRLPFFDVPSPDSFEEMKKVVCDQYRPCLHNRLHSHP  542
Sbjct  392      ALGLVLWEITRRTIVNGIVEEYRPPFFDMVPSDPSFEEMKKVVCDQHRPSLHNRLHSHP  451
Query   543      ILSAIAKIMKECWFSQSPSARLTALRVRKTLAKLDQDQD  656
Sbjct  452      ILSAIAKIMKECWFSQSPSARLTALRVRKSLSKLDQDHD  489
```

ภาพที่ 10 BLASTX alignment ของ EST clone O1024

A. Nucleotide and deduced peptide

| | |
|---|-----|
| TCCACGAGCTGGGCTCTCTATGACTTCCTGCAGTACAACACCTGGATCCTGAGGCCTGTTGTGCATGTGCCTGTCGATAGCCAGCG | 90 |
| H E L G S L Y D F L Q Y N T L D P E A C L C M C L S I A S G | 30 |
| GCCTGGTACACCTCACACAGAAATCCTCTTACCACTCAGGGCAAGCCGCCATGCCACCCTGACCTCAAAGCCGAACATCCTGGT | 180 |
| L V H L H T E I L T T Q G K P A I A H R D L K S R N I L V K | 60 |
| GAAGAGGAACGGCCAGTGCTGCATCGCTGACCTGGGTCTGGCTGTCAATTCTCAGTCCAACGATTACCTGGACGTAGGGAACAAACCC | 270 |
| R N G Q C C I A D L G L A V I H S Q S N D Y L D V G N N P R | 90 |
| AAGGGTGGGACCAAAACGCTACATGGCCCTGAGGTCTAGATGAGAGTATCCGTGTGGACATCTTGAATCATACAAGCAGACTGATAT | 360 |
| V G T K R Y M A P E V L D E S I R V D I F E S Y K Q T D I W | 120 |
| CTGGGCTTGGGACTGGTTGTGGAGATCACCCGCCGAACCATCGTAATGGAATTGTCGAGGAGTATGCCCTGCCTTTTGACGT | 450 |
| A L G L V L W E I T R R T I V N G I V E E Y R L P F F D V V | 150 |
| GGTGCCCTCCGACCCAGTTGAAGAGATGAAGAAAAGTGGTGTGTGGACCAAGTACAGGCCCTGCCTTCACAACCGACTGCACTCCCA | 540 |
| P S D P S F E E M K K V V C V D Q Y R P C L H N R L H S H P | 180 |
| TCTCGATTCTGTCTGCTATAGCTAAAATCATGAAGGAGTGCTGGTCCAGAGTCCCTCAGCTCAAGTCTCACTGCCCTGCGTGTGCGTAA | 630 |
| I L S A I A K I M K E C W F Q S P S A R L T A L R V R K T L | 210 |
| GACCCTGGCAAAGCTGGACCAAGACCAAGACTGCA | 666 |
| A K L D Q D Q D | 218 |

B. Conserved domain



C. Description of domain analysis

| Description | PssmId | Multi-dom | E-value |
|--|--------|-----------|----------|
| [+] PKc[cd00180], Protein Kinases (PKs), catalytic (c) domain. | 173623 | yes | 1.18e-24 |

ภาพที่ 11 การวิเคราะห์ *P. gigas* activin A receptor (EST clone O1024)

- A. ลำดับของอะมิโนแอcidอยู่ที่ตำแหน่งแรกของ codon
B. และ C. ผลการวิเคราะห์ตัวแทนงดีเมน

01024 * 20 * 40 * 60 * 80 * 100
human : MTLGSPRKGLMLIMALM - VTQGDPPVKPSR --- GPLVTTCTCESP-HCKGPTCRGAWCTVVLVREEGRHOPQEVRGCGNLHRELCRGRPTEFVHMYCCDSHLCHNOMS : 100
cattle : MTLNLPRRRLLMLILALG-LTQGDPLKPSR --- GPLVTTCTCENP-HCKGPTCQGSCTVVLVWED0-10LREXRYRCGONHGPVEVCRARPTEFVNHYCCSYPLCHNOMS : 100
rat : MTLGIVFRRVFLMLVALG-LTQGDPLKPSR --- GOLVNTCTCENP-HCKGPKICQGAWCCTVVLVREOORHPQVZRGCCSLNQELCLGRPTEFVHMYCCSYPLCHNOMS : 100
zebrafish : MKASVHMLAVLPVLYVSGSYATTADHLMETSTLKDNESSLQCSCENTMLCEENNNSCWDRICFYTSV --- J0ERVRGC-FQTAEQCYVPAIPGVVTKCCTYHUCNALT : 100
hydra :

* 120 * 140 * 160 * 180 * 200 *
01024 : LPLEATQPSSQEPGTDGQLALI1LGPVLALLALVALGWLGLWVVRREKQKQRLHSELDESSLILKASEQGDMSLGLDLDSDCTTGSGSGLPFLVQRTVVARQVALVE : 200
human : LPLEATQPSSQEPGTDGQLPLI1LGPVLALLALVALGWLGLWVVRREKQKQORGANSELGESSLILKPSSEQGDMSLGLDLDSDCTTGSGSGLPFLVQRTVVARQVALVE : 200
cattle : LPLEATQPSSQEPGTDGQLPLI1LGPVLALLALVALGWLGLWVVRREKQKQORGANSELGESSLILKASEQGDMSLGLDPLVSDCTTGSGSGLPFLVQRTVVARQVALVE : 200
rat : LPLEATQPSSQEPGTDGQLPLI1LGPVLALLALVALGWLGLWVVRREKQKQORGANSELGESSLILKASEQGDMSLGLDPLVSDCTTGSGSGLPFLVQRTVVARQVALVE : 200
zebrafish : NPEKPVEKP --- IRVILLVGVPVLLVLLVIMAACFLWLWLR --- TRRQYCMCPVEMDTSMQKPVSGCDPTYGD1FDEFCTSGSGTGLPFLVQRTVVARQVALVE : 200
hydra : MEAANYIYLRYIKLKKQKKSNCDRQVMLPPDEKTEN --- STC7GLK5---KLAQRSPAREISTWV : 65

* 220 * 240 * 260 * 280 * 300 * 320
01024 : GNGRHYGEVMRQLMHIGESVAVKIFESSRDEQSWPRTETIYNTVLLRHONILGFIASDMTSRNSSTQLWLITMTHENGSLYDFLQRQTLERPHALLRAVSAACGLAHHLHE : 310
human : GNGRHYGEVMRQLMHIGESVAVKIFESSRDEQSWPRTETIYNTVLLRHONILGFIASDMTSRNSSTQLWLITMTHENGSLYDFLQRQTLERPHALLRAVSAACGLAHHLHE : 310
cattle : GNGRHYGEVMRQLMHIGESVAVKIFESSRDEQSWPRTETIYNTVLLRHONILGFIASDMTSRNSSTQLWLITMTHENGSLYDFLQRQTLERPHALLRAVSAACGLAHHLHE : 310
rat : GNGRHYGEVMRQLMHIGESVAVKIFESSRDEQSWPRTETIYNTVLLRHONILGFIASDMTSRNSSTQLWLITMTHENGSLYDFLQRQTLERPHALLRAVSAACGLAHHLHE : 310
zebrafish : GNGRHYGEVMRQLMHIGESVAVKIFESSRDEQSWPRTETIYNTVLLRHONILGFIASDMTSRNSSTQLWLITMTHENGSLYDFLQRQTLERPHALLRAVSAACGLAHHLHE : 300
hydra : GRGRFSVVVITLGYQDQDVLAVKXVDESDEXSWQREQHEFYKTYGLCHENILSETGADIVIN-TVARMLITYQHFGSCLTFQHNSHESDIFEFFRLRVYSSVCGIRYLNHP : 160

P/K site * 340 * 360 * 380 * 400 * 420 *
01024 : ILTTGQKPAIAABDLKSRUFLVKRNGQCCIAIDLGLAVIHSQSNDYLDVGNNPRVGTKRYMAPEVLDESTRV-DIFESYKQTDIWAHLGLVWEITRTTIVNGIVEEYRL : 140
human : IFGTGQKPAIAABDLKSRUFLVKRNGQCCIAIDLGLAVIHSQSNDYLDVGNNPRVGTKRYMAPEVLDESTRV-DIFESYKQTDIWAHLGLVWEITRTTIVNGIVEEYRL : 140
cattle : IFGTGQKPAIAABDLKSRUFLVKRNGQCCIAIDLGLAVIHSQSNDYLDVGNNPRVGTKRYMAPEVLDESTRV-DIFESYKQTDIWAHLGLVWEITRTTIVNGIVEEYRL : 140
rat : IFGTGQKPAIAABDLKSRUFLVKRNGQCCIAIDLGLAVIHSQSNDYLDVGNNPRVGTKRYMAPEVLDESTRV-DIFESYKQTDIWAHLGLVWEITRTTIVNGIVEEYRL : 140
zebrafish : ILSTGQKPAIAABDLKSRUFLVKRNGQCCIAIDLGLAVIHSQSNDYLDVGNNPRVGTKRYMAPEVLDESTRV-DIFESYKQTDIWAHLGLVWEITRTTIVNGIVEEYRL : 110
hydra : ISGSHGKPAIAABDLKSRUFLVKRNGQCCIAIDLGLAVIHSQSNDYLDVGNNPRVGTKRYMAPEVLDESTRV-DIFESYKQTDIWAHLGLVWEITRTTIVNGIVEEYRL : 110

I 3gGKPAIAABDLKSRUFLVKRNGQCCIAIDLGLAVIHSQSNDYLDVGNNPRVGTKRYMAPEVLDESTRV-DIFESYKQTDIWAHLGLVWEITRTTIVNGIVEEYRL : 270

S/T site * 440 * 460 * 480 * 500 * 520 *
01024 : PFFDWPVPSDPSEEMKKVVCVDQYRPRCLHNRLHSHPI1SALAKIMMECWFQSPSARLTALRVRKT1LAHLDDQDQD----- : 218
human : PYFDWVVPDPSPEDMKKKVVCVDQYRPRCLHNRLHSHPI1SALAKIMMECWFQSPSARLTALRVRKT1LAHLDDQDQD----- : 203
cattle : PYFDWVVPDPSPEDMKKKVVCVDQYRPRCLHNRLHSHPI1SALAKIMMECWFQSPSARLTALRVRKT1LAHLDDQDQD----- : 203
rat : PYFDWVVPDPSPEDMKKKVVCVDQYRPRCLHNRLHSHPI1SALAKIMMECWFQSPSARLTALRVRKT1LAHLDDQDQD----- : 203
zebrafish : PFFDWPVPSDPSEEMKKVVCVDQYRPRCLHNRLHSHPI1SALAKIMMECWFQSPSARLTALRVRKT1LAHLDDQDQD----- : 499
hydra : PFEQEVGLPNSTHEMTD1INVAQKCTPEIPIKGYILDQNARNTIKSMOKNSHYSAMRSFSSYRKLKSLNQKCEQETKLTEIGDTSNNTCSTTVT : 367

P d Vp IPSfe MKd6c6vcdq P 6 n1l p 1s 6a M36e p sra1311R64J3K

ภาพที่ 12 การเปรียบเทียบลำดับอะมิโนแอซิดของ activin A receptor ในปลาบึก (EST clone O1024) กับสิ่งมีชีวิตชนิดอื่น โดยแสดงตำแหน่ง protein kinases ATP-binding motif site (PK site) และ serine/threonine protein kinases motif site (S/T site)

human : *Homo sapiens* (np:001104537 1), cattle : *Bos Taurus* (gb:AAI33312.1); rat : *Rattus norvegicus* (gb:EDM00402.1); zebrafish : *Danio rerio* (gi:24111232); hydra : *Hydra magnipapillata* (dbi:bab29802,1)

Cystatin precursor

cystatins ได้ถูกค้นพบครั้งแรกในขาวของไข่ไก่ในปี 1960 โดย Whitaker (Colella et al., 1989) เป็นกลุ่ม superfamily ของ cysteine protease inhibitors มีรายงานพนайдีในทุกสิ่งมีชีวิต แบ่งเป็น 3 กลุ่มใหญ่ ได้แก่ type 1 cystatins (A และ B) เรียกว่า stefins เป็น intracellular proteins ส่วน type 2 cystatins (C, D, E/M, F, G, S, SN และ SA) เรียกว่า กลุ่ม cystatins เป็น extracellular proteins ในขณะที่ type 3 cystatins (L และ H-kininogens) เรียกว่า กลุ่ม kininogens เป็น intravascular proteins โปรดีนกลุ่มนี้ทำงานหลายหน้าที่ ได้แก่ ยับยั้งกลไก cysteine peptidases ของเอนไซม์ papain (C1) family และชนิดยับยั้งกลไกนี้ของเอนไซม์ legumain (C13) family ได้ กลไกการยับยั้งทำโดยการเกะจับและเป็นแบบ reversible inhibitor การยับยั้งเป็นแบบไม่จำเพาะ มีทั้งแบบ endo- และ exo-peptidase

โปรดีนกลุ่มนี้เกี่ยวข้องกับกระบวนการทางสรีระหล่ายขบวนการ ได้แก่ intracellular protein degradation เช่น cathepsins B, H และ L เป็นส่วนสำคัญในขบวนการเสริมสร้างกระดูก เช่น cathepsin K เกี่ยวข้องในขบวนการกำจัดเชื้อโรค เช่น cathepsin S และ mammalian legumain เกี่ยวข้องในขบวนการของระบบภูมิคุ้มกันและการแข็งตัวของเลือด และเกี่ยวข้องกับกลไกที่มีการเพิ่มการทำงานของ peptidases เช่น ลักษณะการเกิดโรคสรีระของการกระจายมะเร็งและการอักเสบ การติดเชื้อไปร้ายและแบคทีเรียที่มีผลต่อเยื่อบุเจ้าบ้าน นอกจากนี้ยังพบว่า ตัว cystatins ถูกลดการทำงานลงหรือล้มเหลว จะมีผลต่อการเกิดโรคหล่ายชนิด ได้แก่ โรคจากเชื้อจุลทรรศ์ กลไกการสร้างเซลล์ประสาท (neurodegeneration) โรคเกี่ยวกับเลื่อนเลือดหัวใจ (cardiovascular diseases) โรคกระดูกพูน โรคไขข้ออักเสบ และมะเร็ง ส่วนความซัดเจนที่เกี่ยวข้องในขบวนการตกไข่และการพัฒนาของไข่และตัวอ่อนยังอยู่ในระหว่างการศึกษาวิจัย (Barrett, 1986; Abrahamson et al., 2003; Jones et al., 2005; Turk et al., 2008)

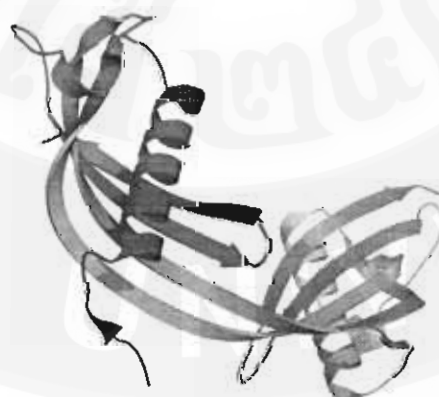
cystatins ถูกสร้างเป็น precursor และส่วนใหญ่โปรดีนทำงานจะมีขนาด 110-120 อะมิโนแอซิด และเป็นกรด โครงสร้างประกอบด้วย conserved cysteine 4 ตำแหน่ง ซึ่งจะประกอบเป็น 2 disulfide bonds และอาจมีส่วนของ glycosylated หรือ phospholeated

ในปลาкар์พ cystatin 12 kDa ซึ่งประกอบด้วยยีน cDNA ขนาด 531 bp รูปแบบ precursor มีขนาด 129 residues เป็นส่วน signal peptides 18 residues และ mature protein mu, อะมิโนแอซิด 111 residues ที่น่าสนใจมาก คือ พบว่า cystatin นี้มีแสดงออกและ

สมมุติว่าที่รังไข่ของปลาเท่านั้น และยังพบว่า ระดับการแสดงออกของยีนนี้ มีความแตกต่างกันในการให้อาหารและถูกวางไข่ กลุ่มวิจัยคาดว่า cystatins แต่ละชนิดน่าจะทำงานแต่อย่างที่มีความจำเพาะ (Tsai et al., 1996) แต่จากการวิจัยนี้พบยืน cystatin ในเซลล์เลือดของแม่ปลา ระหว่าง

cystatin มีผลต่อการยับยั้งการทำงานของ cysteine proteases ในขบวนการ vitellogenesis เพื่อสร้าง yolk protein ในໄส์เดือนดิน (*Caenorhabditis elegans*) (Sarwar et al., 2006)

cystatin precursor จากปลาบึกมีความเหมือนกับยีนนี้ของปลา 2 ชนิด ดังนี้ rainbow smelt 50% (37/73 amino acids) จากลำดับที่ 59-129 และ Northern pike 39% (48/123 amino acids) จากลำดับที่ 18-130 (ภาพที่ 14) โดยมีตำแหน่งอนุรักษ์ของ protease inhibition site ด้าน N-terminal และ cystatin-like domain (ภาพที่ 15B) เมื่อเปรียบเทียบกับโปรตีนของสิ่งมีชีวิตอื่น พบร่วง โปรตีนนี้ของปลาบึกมีตำแหน่งอนุรักษ์ของ cysteine proteases inhibitors motif site (CPI site) อย่างชัดเจน (ภาพที่ 16) จากผลการเปรียบเทียบยืนในฐานข้อมูล GenBank *P. gigas* cystatin มีลักษณะคล้าย cystatin C



ภาพที่ 13 โครงสร้างโปรตีน cystatin C ของมนุษย์
ที่มา : http://en.wikipedia.org/wiki/Cystatin_C

>gb|AC009585.1| Cystatin precursor [Osmerus mordax]
Length=130

Score = 87.4 bits (215), Expect = 1e-15
Identities = 37/73 (50%), Positives = 53/73 (72%), Gaps = 2/73 (2%)
Frame = +1

| | | | |
|-------|-----|---|-----|
| Query | 151 | VVNIVIRAQTQVVAGVKYIFTVEMAKTSCKKSEDENTCATNSDTTIAQPHECKLAVWSCSK | 330 |
| | | V VI+ Q QVAG+KYIFTV+MA+TSC+K E TCA + D +A+P++CK VW S+ | |
| Sbjct | 59 | VAKVIKVQKVAGIKYIFTVDMARTSCRKGGAETTCAIHEDPQVARPYQCKFEVW--SR | 116 |
| Query | 331 | PWVPSMMLIENTC 369 | |
| | | PW+ + +++N C | |
| Sbjct | 117 | PWISDIRVVVKNEC 129 | |

>gb|AC014463.1| Cystatin precursor [Esox lucius]
Length=132

Score = 85.5 bits (210), Expect = 4e-15
Identities = 48/123 (39%), Positives = 72/123 (58%), Gaps = 10/123 (8%)
Frame = +1

| | | | |
|-------|-----|--|-----|
| Query | 1 | VASADLVGSPVDTDINNTE*SC*SRMPCVSWQAVARYNAERLF*LHVHQ*VVNVIRAQTQ | 180 |
| | | VAS +VG+P D D+N+ + AV +N +R +++ Q V +V++AQ Q | |
| Sbjct | 18 | VASEKMGAPSDADMND-----QGLKNALQFAVVEHN-KRTNDMYIRQ-VASVVKAQKQ | 69 |
| Query | 181 | VVAGVKYIFTVEMAKTSCKKSEDENTCATNSDTTIAQPHECKLAVWSCSKPWVPSMMLIE | 360 |
| | | VVAG+KYIFTV M +T CKKS E C+ + D +A + C VW S+PW+ + L++ | |
| Sbjct | 70 | VVAGIKYIFTVNMGRTPKKSGAECSVHEDPGMAATYRCTFEVW--SRPWMSDIQLLK | 127 |
| Query | 361 | NTC 369 | |
| | | N C | |
| Sbjct | 128 | NDC 130 | |

ภาพที่ 14 BLASTX alignment ของ EST clone O5030

A. Nucleotide and deduced peptide

| | |
|--|-----|
| GTGGCGAGTGCTGACTTGGTCGGAAGCCCGGTGGATACAGACATCAACAAACACGGAATAATCATGTTAGTCCAGGATGCCCTGCCTTCT | 90 |
| V A S A D L V G S P V D T D I N N T E * S C * S R M P C V S | 30 |
| TGGCAGGCAGTCGCTCGGTATAACGCAGAGAGACTCTTTAACATGCATGTACACCAGTAGGTTGTGAATGTGATCAGGGCCCAGACACAG | 180 |
| W Q A V A R Y N A E R L F * L H V H Q * V V N V I R A Q T Q | 60 |
| GTTGTTGCCGGTGTGAAGTACATCTTCACTGTCGAGATGGCTAAGACTTCTGTAAAAAAATCAGAAGATGAAAACACGTGTGCCACCAAT | 270 |
| V V A G V K Y I F T V E M A K T S C K K S E D E N T C A T N | 90 |
| TCGGACACAACGATCGCACACCCCCATGAATGCAAACATTGCAGTGTGGCTTGCAGTAAGCCTGGGTGCCAGCATGATGCTGATTGAG | 360 |
| S D T T I A Q P H E C K L A V W S C S K P W V P S M M L I E | 120 |
| AATAACCTGCTAATAGAGATCACTTCAATCAAAACTGATGAGCTTGTAAAGAGGTTAAATAGGGAATATAATAGCACTTACAATGTAC | 450 |
| N T C * | 123 |
| GTTGTACTTTAGCCTCCTGGCCTAACATATTCTATCAACTAACACCACATCGTGTGATAATCTAGGCTCTGAGATTAGAAAAGGTTG | 540 |
| TTTGCAGGGGGAAAAAAAGGTTGTAGAATGTAACAGAACTTATTAAAGTATATAGCTCGAAGTGTATTATTGATTATAATAAAAGGTT | 630 |
| TTTGTGAATGC | 641 |

B. Conserved domain



C. Description of domain analysis

| | Description | PssmId | Multi-dom | E-value |
|-----|---|--------|-----------|----------|
| [+] | CY[cd00042], Cystatin-like domain; Cystatins are a family of cysteine protease inhibitors that occur... | 28923 | yes | 2.16e-14 |

ภาพที่ 15 การวิเคราะห์ *P. gigas* cystatin precursor (EST clone O5030)

- A. ลำดับของอะมิโนแอซิดอยู่ที่ตำแหน่งแรกของ codon
- B. และ C. ผลการวิเคราะห์ตัวแทน่โดยเมน

| | * 20 * | * 40 * | * 60 * | * 80 * | * 100 * | |
|-----------|---|--------|--------|--------|---------|---------------------------|
| 05030 | -----VASADLVCPSPVDTDINNTESCSRQPCVSWQAVARYIAERLFLHVHJWVNRVIRATQVVVAVIVKYITTVIKA | | | | | |
| human | AQHQHSLTLLILLATLAVALAHSPKEEDRIIPGGIYNADLNDEWVQRALH----FAISEYNKATKDYYRRPLRVLRARQIYVGAVVHYTFDVEVGRITCTKSQPHLDTCAP | | | | | |
| pick | -----MDWKIVVPLLAVALITVASEKMQGAPSADHNQCLQLNQ----FAVVEHNNRRTNDHMRQVAVSVKAQKJWVAGIKYIFTVIGRTPCKKS-GAETNCV | | | | | |
| chicken | MAGARGCVVLLAALALILVGAVLGSEDRSRLLGAPVIVVENDEGLQLRALQ----FAMAEYNRNASNDKYSRWRVVISAKRQLVSGTICKYLQVRIGRTRICEKSSGDLQSCE | | | | | |
| salmon | -----MDWKIVVPLLAVALITVASEKMQGPHDANQDQGTRDALQ----FAVVEHNNKSNDFEVRLQVAKVVKAAQKJLVSQHGYIPTVUHARTPCRKG-GVEKVCSV | | | | | |
| soft_tick | -----MIRSAVVLTVLVGVCLAQRGFVQGMSQVDPKIRPDILLEAH---FAVASQTAG-LEYYHTVLELTKAQJWVAVIVYRQTLKVAPESKCKVS-ETVYSKEL | | | | | |
| | 6 | 1 n | 6 | TAG | n | v 6 A U V 96 Y 6 3 C ks 0 |
| | 120 | * 140 | | | | |
| 05030 | NSDTTIAQPHECKLAVWS----- : 103 | | | | | |
| human | MEQPELQQKQULCSFEIYEVPMENRSLVKSRCQES : 141 | | | | | |
| pick | HEPPGMATYRCCTFEWSRPWMSDIQLLKNDCPQ : 132 | | | | | |
| chicken | KDEPEMAKTTCTEVVYSIPWLQIQKLLESKCQ : 139 | | | | | |
| salmon | HKDTQMAAPYKCTCTFEWSRPWLSDIQMVKNQCKQ : 128 | | | | | |
| soft_tick | CQPQLHAAPKDCEAQLYVPPHRNYKEVTSEFCN-- : 128 | | | | | |
| | a | c | 63 | pr | c | |

CPI site

ภาพที่ 16 การเบรียบเทียบลำดับของมิโนเอชีดของ cystatin precursor ในปลาบึก (EST clone O5030) กับสิ่งมีชีวิตชนิดอื่น โดยแสดงตำแหน่ง cysteine proteases inhibitors motif site (CPI site)

human : *Homo sapiens* (emb:CAA36497.1); Northern pick : *Esox lucius* (gb:ACO14463.1); chicken : *Gallus gallus* (gb:AAA48744.1);
Atlantic salmon : *Salmo salar* (gb:ACI68292.1), soft tick : *Ornithorhynchus anatinus* (gb:ACH45790.1)

3) ยืนที่เกี่ยวกับระบบภูมิคุ้มกัน

ได้พบ EST clones 4 ยีนของโปรตีน 3 ชนิดที่เกี่ยวข้องกับการระบบภูมิคุ้มกัน ดังรายละเอียด ดังไปนี้

MHC class II

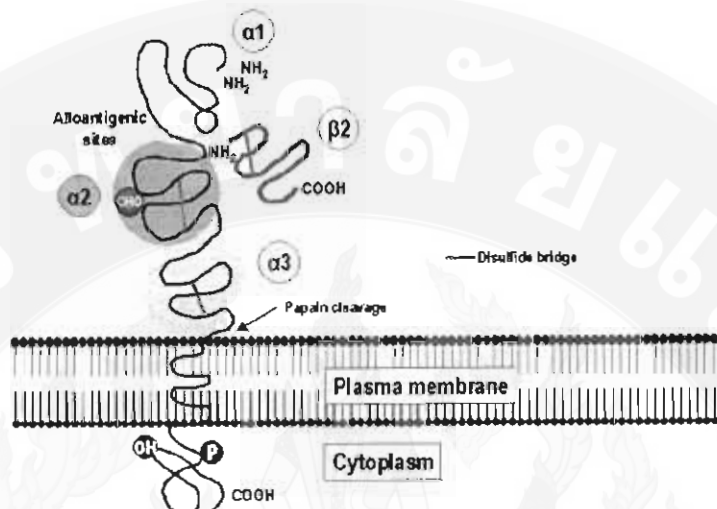
major histocompatibility complex (MHC) เป็น transmembrane protein ที่เกี่ยวข้องกับการทำงานของระบบภูมิคุ้มกันทั้งแบบ humoral และ cell-mediated immune response ยีนของ MHC มีความหลากหลาย (polymorphic) ซึ่ง มีหลาย alleles MHC แบ่งได้เป็น 2 กลุ่ม ใหญ่ คือ MHC class I และ class II MHC class I พบในเซลล์ที่มีนิวเคลียส แต่ MHC class II พบเฉพาะในเซลล์ชนิด antigen presenting cells (APCs) ได้แก่ dendritic cells, macrophages, B cells และอาจพบในเซลล์อื่นบางชนิด

MHC class II ประกอบด้วย 2 สายเปปไทด์ที่แตกต่างกัน คือ alpha chain และ beta chain จับกันด้วยพันธะ non-covalent bond และในแต่ละสาย ประกอบ disulfide bridge เพื่อรักษาโครงสร้าง ทั้ง alpha และ beta chain เป็น glycosylated ส่วน beta chain มักจะสั้นกว่า alpha chain และประกอบด้วย alloantigenic sites (ภาพที่ 17)

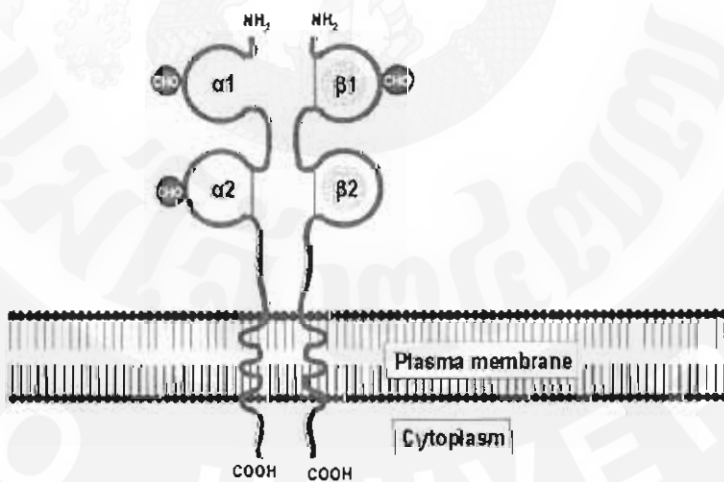
Sültmann และคณะ (1993, 1994) ทำการศึกษา MHC genes ของปลาแม่น้ำลาย (Bra-chydanio rerio) ซึ่งเป็นรายงานแรกของยีนนี้ในปลากระดูกแข็ง โดยการหนันนี้มีรายงานในปลาฉลาม ต่อมา Yoder และคณะ (1999) ได้รายงานพบ 2 ยีน ที่มีโครงสร้างของ MHC class II ซึ่งอาจกล่าวได้ว่ายีนของ MHCs ในปลาฯ จะมีความหลากหลายสูงมากกว่าสัตว์เลี้ยงลูกด้วยนม

MHC class II alpha และ beta chain ของปลาบีก มีความเหมือนกับยีนนี้ของปลากรดอมริกัน ที่ลำดับ 1-210 และ 1-241 ตามลำดับ (ภาพที่ 18) โดย alpha chain ประกอบด้วย MHC II alpha domain และ beta chain ที่ปลาย N-terminus และ Ig superfamily ที่ปลาย C-terminus ดังในภาพที่ 19B และ 21B ตามลำดับ เมื่อเปรียบเทียบส่วนนี้ในปลาและมนุษย์ พบร่วมกัน alpha และ beta domains ของปลาบีกมีส่วนอนุรักษ์ที่สำคัญ (ภาพที่ 20 และ 22 ตามลำดับ)

A. MHC class I



B. MHC class II



ภาพที่ 17 โครงสร้างของ MHC class I และ class II

- A. MHC class I ประกอบด้วย 3 globular domains alpha 1 (สีเหลือง), alpha 2 (สีเขียว) และ alpha 3 (สีฟ้า) โดยมีกากจามี ส่วนของ non-MHC -encoded beta 2 microglobulin (สีชมพู) เกาะจับอยู่
- B. MHC class II ประกอบด้วย 2 ส่วนโปรตีนที่แตกต่างกัน เกาะกันด้วยพันธะ non-covalent โดยมีโครงสร้างเป็น loop

A. EST clone A3017

```
> gb|AAD39869.1| MHC class II antigen [Ictalurus punctatus]
Length=235

Score = 394 bits (1013), Expect = 3e-108
Identities = 187/210 (89%), Positives = 195/210 (92%), Gaps = 0/210 (0%)
Frame = +1

Query  91  MRLFLLCFTLVCVKDTEAQNKHLHQLQLSACSEKDKEFMIGDDGEVELYADFKKKDTVYMF  270
        MRLFLLCFTLVCVKDTEAQNK HHL+LSACSEKDKE+M+G DGE YADF+KKD V
Sbjct   1   MRLFLLCFTLVCVKDTEAQNKFHHELESLACSEKDKEYMVGSDEEMFYADFEKKDIVNAL  60

Query  271  PPFADPMQYPGFYEGAESRTANCQANLQVLSQLSVEFKDKPLPHDAPQSSIYARTGVQLGSEN  450
        PPFADP ++ G + AES+TANCQANLQVLSQLSVEFKDKPLP DAPQSSIYARTGVQLGSEN
Sbjct   61   PPFADPGEFTGGFAFAESKTANCQANLQVLSQLSVEFKDKPLPQDAPQSSIYARTGVQLGSEN 120

Query  451  LLICHASRFFFFPPVVRWTKNNLDVTDKSSLSQYYPNDDETFNQFSHLPFTPQEGDVYTC  630
        LLICHASRFFFFPPVVRWTKNNLDVTDKSSLSQYYPNDDETFNQFSHLPFTPQEGDVYTC
Sbjct  121   LLICHASRFFFFPPVVRWTKNNLDVTDKSSLSQYYPNDDETFNQFSHLPFTPQEGDVYTC 180

Query  631  TVQHEALQTPDTRTWEVNVDLPSVGPAVFC  720
        TVQHEALQTPDTRTWEVNVDLPSVGPAVFC
Sbjct  181   TVQHEALQTPDTRTWEVNVDLPSVGPAVFC  210
```

B. EST clone O2089

```
> gb|AAB67871.1| MHC class II beta chain [Ictalurus punctatus]
Length=249

Score = 345 bits (886), Expect(2) = 2e-93
Identities = 171/241 (70%), Positives = 195/241 (80%), Gaps = 0/241 (0%)
Frame = +1

Query  4   MALLVKILLIVLPAVFSTARWTIFIGRNKSANTALRIYTTVYLQTHVYNKLMFLQYNSSL  183
        M+ L+KILLIVLPAV TA      +     +     +     Y++ + NK+ +L+YNS++
Sbjct   1   MSKLLKILLIVLPAVLHTAHGNFLSQPDWCISKEIDLSDMEYIKPLI1NKKYLEYNSTV  60

Query  184  GKFGVGYTELGVKNAETANKDTAYLQGMKANLESTCKPNAKLYYENIFGQTVEPQVQVRSV  363
        GK VGYTELG+KNA+ NKA A++QG+KA L+S CK N YY I +TVEPQV+V+ V
Sbjct   61   GKVVGYTELGIKNADRFNKPDAFMQGLKAELDSVCKNNVGNYSGILSKTVEPQVKVCLV 120

Query  364  KKSDGTHPAVLVCSAYSFYPKYISVTWLRNGKEIKGDVTSTEEMADGDWYYQVHSHLEYM  543
        KKSDGTHPA L+CSAYSFYP ISVTWLRNGKEIKG VTSTEEMADGDWYYQVHSHLEYM
Sbjct  121   KKSDGTHPATLMCSAYSFYPPIASVTWLRNGKEIKGGVTSTEEMADGDWYYQVHSHLEYM 180

Query  544  PESGEEICSVVQHASFKPLNYKWDSSMPEPDKSRIA1GASGLVLGIVLSAAGFIYYKKK  723
        PESGEEICSVVQHASF KP+NYKWDSSMPEPDKSRIA1GASGLVLGIVLSAAGFIYYKKK
Sbjct  181   PESGEEICSVVQHASFTKPMNYKWDSSMPEPDKSRIA1GASGLVLGIVLSAAGFIYYKKK 240

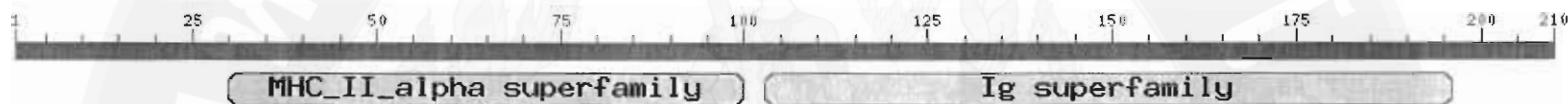
Query  724  S  726
        S
Sbjct  241   S  241
```

A. Nucleotides and deduced peptides

| | |
|--|-----|
| GTGTGTGTGAGAGTGTGTGAGAGAGTTAGAGTGTGTAGTCGGTGAGGAGTGGATTGATGTGAGCTGCTGATTGAACACACACTTCAGG | 90 |
| ATGAGATTATTCCTGCTCTGTTCACACTGGTGTGTGAAGGACACTGAAGCACAGAATAATGCACCATTGCAGTTGTCCCGGTGC | 180 |
| M R L F L L C F T L V C V K D T E A Q N K L H H L Q L S A C | 30 |
| TCAGAGAAGGATAAGGAGTTATGATTGGTGTGATGGAGAGGTGGAGCTTACGCAGATTAAAGAAGAAGGATAACAGTGTATATGTTT | 270 |
| S E K D K E F M I G D D G E V E L Y A D F K K K D T V Y M F | 60 |
| CCTCCGTTCGCTGATCCGATGCAGTACCCGGATTTACGAGGGCGCCGAGAGTCGGACTGCCAAGTCAAGCAAACCTACAGGTGCTT | 360 |
| P P F A D P M Q Y P G F Y E G A E S R T A N C Q A N L Q V L | 90 |
| TCAGTAGAATTAAAGACAAGCCGCTGCCACACGACGCCAACAGAGCTCCATCTATGCCAGAACTGGTGTACAGCTGGTTCAAGAGAAC | 450 |
| S V E F K D K P L P H D A P Q S S I Y A R T G V Q L G S E N | 120 |
| CTGCTGATCTGCCACGCCCTCACGGTTCTTCCCTCCACCTGTCCGTGTGCCGTGGACCAAAAACAACCTGGACGTGACGGATAAACCTCA | 540 |
| L L I C H A S R F F P P P V R V R W T K N N L D V T D K S S | 150 |
| CTCAGCCAGTATTACCCAATGATGACGAAACCTTCACCACTGCTCCACTCCACAGGAAGGAGACGTGTACACCTGC | 630 |
| L S Q Y Y P N D D E T F N Q F S H L P F T P Q E G D V Y T C | 180 |
| ACGGTGCAGCACGAGGCCCTGCAGACGCCGTGACACCAGGACATGGGAGGTGAATGTTGATCTCCCCAGTGTGGTCCGGCTGTGTTTGT | 720 |
| T V Q H E A L Q T P D T R T W E V N V D L P S V G P A V F C | 210 |

B. Conserved domain

Query seq.
Superfamilies



C. Description of domain analysis

Description

Ig super family[cl11960], Ig: immunoglobulin (Ig) domain found in the Ig superfamily. The Ig superfamily is a...
MHC_II_alpha super family[cl03058], Class II histocompatibility antigen, alpha domain.

| PssmId | Multi-dom | E-value |
|--------|-----------|----------|
| 176433 | no | 2.06e-31 |
| 144547 | no | 7.96e-12 |

ภาพที่ 19 การวิเคราะห์ *P. gigas* MHC class II alpha chain (EST clone A3017)

- A. ลำดับของอะมิโนแอcidอยู่ที่ตำแหน่งแรกของ codon
- B. และ C. ผลการวิเคราะห์ตัวแหน่งโคเมน

| | | |
|----------------------|---|-----|
| human | 6 YGPGSGQYSHEFUGDEEFYVOLERKETVWQLFLFRRFRRFPQFALTNIAVLKHNLNIVIKRSNST | 86 |
| giant catfish | 18 SEKDKEFMITGDIGEVELYADFKKKDVTYMFPPFADEFMOPYYEGAESRTANCQANLQVLVSVEFKDP | 100 |
| channel catfish | 21 SOTDKEYVLGTDKEEVYYADFVKQLIVKALPPFAOTLNPFYQOSAGAEIDICKTNLGVYRTEFKDP | 100 |
| zebrafish (1) | 1 DADQREGFIVQFDDEQLAHJVDKFKEQKDVTIPEFADQAVLPYDAKRAEFNCKAYLAVLREVYASV | 81 |
| zebrafish (2) | 21 SDTEKDOLTGFDGEEEYHTDFIRKEGVMTLPDFADPYSYEAGVANMEICKQNLATDIKAYNSE | 98 |
| striped sea-bass (1) | 24 SDSDGEKMYGLDGEEVWYADFINKKGVEPQPSF10HITYPYEAVAAQQQICRQNLKVALQAYRNQ | 100 |
| striped sea-bass (2) | 24 SDSDGEDMIALDGEEVWVADFINKKGVEPQPSF1DFFNYQEQAVALQQQICRQNLKVALQAYRNQ | 101 |
| striped sea-bass (3) | 20 SDSDGEEMYGLDGEEVWYADFINKKGVEPQPSF1BHTSYVYEQAVANQQICRQNLGLALKAVKDP | 98 |
| Atlantic salmon | 19 SDSDGLDMYGLDGEEMWYADFNKQEGVVALPPFADPFTPYEQAVGNQGVCKONLAKCTKAYKNE | 98 |
| rainbow trout | 21 SDSQGVDMYGLDGEELWYADFNKKRGVVALPPFADQISEPYEQAVGNQRTCKGDLGVDIRAYKNT | 99 |

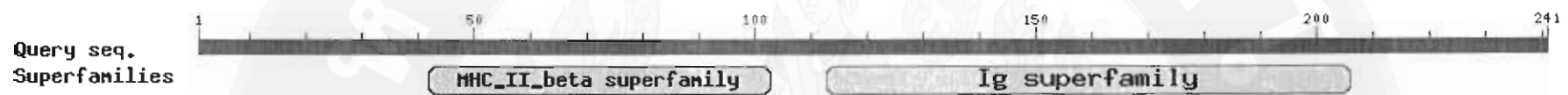
ภาพที่ 20 การเปรียบเทียบ alpha domain ของ MHC class II ของปลาบึก ปลาอื่น และมนุษย์

Homo sapiens (human) (2NNA_A), *Danio rerio* (zebrafish) (gi 82104442), *Ictalurus punctatus* (channel catfish) (gi 82120506), zebrafish (1) (*Danio rerio*) (gi 82228396), zebrafish (2), striped sea-bass (1) (*Morone saxatilis*) (gi 82072177), striped sea-bass (2) (gi 82072166), striped sea-bass (3) (gi 82072175), *Salmo salar* (Atlantic salmon) (gi 82135967), *Oncorhynchus mykiss* (rainbow trout) (gi 82174796)

A. Nucleotides and deduced peptides

| | |
|--|-----|
| ACAATGGCACTGCTGGAAAAATTCTTCTGATCGTCCTGCCTGCAGTTTCAGCACGCCAGATGGACAATTAAAGGGCGAACAG | 90 |
| M A L L V K I L L I V L P A V F S T A R W T I F I G R N K | 29 |
| AGTGCAAATACAGCTTGAGGATCTACACGACAGTGTACTTACAGACTCATGTTACAACAAGCTTATGTTCTGCAGTATAACAGCACT | 180 |
| S A N T A L R I Y T T V Y L Q T H V Y N K L M F L Q Y N S S | 59 |
| CTCGGGAAAGTTGTGGATACACTGAGTTAGCGTCAAAACGCAGAGACAGCTAACAAAGACACTGCATATCTGCAAGGAATGAAAGCC | 270 |
| L G K F V G Y T E L G V K N A E T A N K D T A Y L Q G M K A | 89 |
| AACCTGGAATCTACCTGTAAGCTTAATGCTAAGCTTACTATGAAAACATCTTGGTCAAACGGTTGAGCCACAAGTTCAAGTGCATCG | 360 |
| N L E S T C K P N A K L Y Y E N I F G Q T V E P Q V Q V R S | 119 |
| GTCAAGAAGTCAGACGGCACCCATCCTGCTGTGCTGGTTGTAGCGCCTACAGTTTACCCCTAACGTTACATCTCGGTGACGTGGCTGAGG | 450 |
| V K K S D G T H P A V L V C S A Y S F Y P K Y I S V T W L R | 149 |
| AACGGGAAGGAGATTAAAGGTGACGTGACGTCCACTGAGGAGATGGCTGATGGAGACTGGTACTATCAGGTCCACTCCCCTCTGGAGTAC | 540 |
| N G K E I K G D V T S T E E M A D G D W Y Y Q V H S H L E Y | 179 |
| ATGCCTGAATCTGGAGAGGAGATCTCTGTTGGTCCAACACGCCAGCTTCAAAAAACCCCTAACGTTACATAGTGGACTCCTCGATGCCT | 630 |
| M P E S G E E I S C V V Q H A S F K K P L N Y K W D S S M P | 209 |
| GAACCTGATAAGAGATAAGATTGCTATCGGGGCTTCAGGGCTGGTGTGGGATTGTGCTTCAGCTGCTGGATTCTACTACAAGAAG | 720 |
| E P D K S K I A I G A S G L V L G I V L S A A G F I Y Y K K | 239 |
| AAATCCCTCAG | 731 |
| K S | 241 |

B. Conserved domain



C. Description of domain analysis

Description

Ig super family[cl11960], Ig; immunoglobulin (Ig) domain found in the Ig superfamily. The Ig superfamily is a...
MHC_II_beta super family[cl03042], Class II histocompatibility antigen, beta domain.

| PssmId | Multi-dom | E-value |
|--------|-----------|----------|
| 176433 | no | 3.21e-21 |
| 110002 | no | 6.65e-14 |

ภาพที่ 21 การวิเคราะห์ *P. gigas* MHC class II beta chain (EST clone O2089)

- A. ลำดับของอะมิโนแอซิดอยู่ที่ตำแหน่งแรกของ codon
B. และ C. ผลการวิเคราะห์ตำแหน่งโดเมน

| | | |
|---------------------------|---|-----|
| human | 9 ETYCISFNKDLLTCWDPEENKMAPCNVLSQHQNQKDTLMQRNLQNCATHTOPFWG | 82 |
| giant catfish | 28 YLQTHVYNKILMFLQYNSSLGKEVGYVKNAETANKDITAYLOGMANESTCKPNKIVY | 103 |
| channel catfish | 28 YIKPLLIINKRKYLEYNSTVGKFVGYTELGVKNAETANKDITAYLOGMANKESTCKPN | 103 |
| Chinese longsnout catfish | 42 FIQPOVINKVKCAEYNSTLGKFVGYTELCIKNAEFRNKDITALLQGLKDALDSLCKNN | 98 |
| zebrafish | 26 VHDNYIENKDVYIRFNSTLGYFVGVVYNAQLWXQRYQLLEQEAHEDRFKYMAEIDY | 101 |
| zebrafish DA-beta | 31 LLESGSEFNKVVDVQYNTVGRYVGVTFARNFMKNQAYLQRAEVESFCRHNAQILD | 106 |
| common carp (1) | 25 YLLSYSENQGLDAQFNSSSVGFVGYMKDAFYWNNNFAELQORAEVDTYCRHNAQILD | 100 |
| common carp (2) | 31 YIDNYIENKDVYIQFNSTVGEYVGTVYNAERFNKDENILQOEAQVERYCKHNAELIVQ | 106 |
| common carp (3) | 25 FVDNYIENKDVHIQFNSTVGEFVGVHNAELWNKDTTGIQQEAQVDSFCKHNAQIRQ | 100 |
| African cichlid | 24 YTYSQYVNKLEIYRFSSSVGFVGYVKQAKYFNQPAVVAQRAAKETYQHNGIGIWT | 99 |
| Atlantic salmon | 27 FIDSYVFNKAELYIRENSTVGFVGYVKNAEAWNSDAAVLAVECELERYCKHNADILHY | 102 |
| rainbow trout | 30 FIDSYVFNKAEEHVRENSTVCRYVGVLKNAEAWNSDAGILQEAELERYCKPSAAIDY | 105 |

ภาพที่ 22 การเปรียบเทียบ beta domain ของ MHC class II ของปลาบึงและสัตว์อื่น

human (*Homo sapiens*) (1HDM_B), channel catfish (*Ictalurus punctatus*) (gi 1763555), Chinese longsnout catfish (*Leiocassis longirostris*) (gi 264685029), zebrafish (*Danio rerio*) (gi 82228395), zebrafish DA-beta (gi 82191594), common carp (1) (*Cyprinus carpio*) (gi 82191600), common carp (2) (gi 82191598), common carp (3) (gi 82191599), African cichlid (*Aulonocara hansbaenschi*) (gi 82191543), Atlantic salmon (*Salmo salar*) (gi 82228414), rainbow trout (*Oncorhynchus mykiss*) (gi 82191651)

F-type lectin

โปรตีนกลุ่ม lectins เป็นโปรตีนที่ทำหน้าที่จับกับน้ำตาลจำเพาะชนิด พันธะการจับเป็นแบบอ่อนแปรเมื่อความสามารถสูง ประกอบด้วยส่วนที่สำคัญ คือ carbohydrate-recognition domain (CRD) ปัจจุบันมีรายงานการพบlectinได้ 13 กลุ่มชนิด แบ่งตามตำแหน่งที่อยู่ได้เป็น 3 กลุ่มใหญ่ ได้แก่ กลุ่มที่เป็น intracellular lectins คือ calnexin family, M-type, L-type และ P-type กลุ่มที่เป็น extracellular lectins คือ C-type, R-type, siglecs และ galectins และกลุ่มใหม่ ซึ่งบางชนิดทำงานร่วมกับ 2 กลุ่มแรก คือ F-box lectins, ficolins, chitinase-like lectins, F-type lectins และ intelectins

lectin มีบทบาทสำคัญในการตอบสนองของภูมิคุ้มกันแบบไม่จำเพาะ (innate immune) โดยจะจำที่ตำแหน่ง glycans บนพื้นผิวของเชื้อโรค และส่งสัญญาณต่อให้เอนติบอดี้ หรือเม็ดเลือดขาวมาจับกิน เชื้อไวรัสบางชนิดอาศัยความสามารถของ lectin โดยให้ถูกจับเพื่อเข้าสู่เซลล์เจ้าบ้านได้

F-type lectins หรือ fucolectins เป็น lectin ที่จับกับน้ำตาลฟูโคส (fucose-binding proteins) F-type domain พบรได้ตั้งแต่แบคทีเรียจนถึงสัตว์มีกระดูกสันหลัง โดยไม่รวมสัตว์เลี้ยงลูกด้วยนม นก และสัตว์เลี้ยงคลาน ทั้งยังไม่พบในเชื้อราและพืช ยืนของ F-type lectin เป็นยืนที่การสูญหายได้ง่ายในการถ่ายทอดพันธุกรรม F-type lectin ถูกพบครั้งในปลาไหล (Bianchet et al., 2002) และพบว่ามีบทบาทความสำคัญในสัตว์มีกระดูกสันหลังกลุ่มปลา โดยพบมีการซ้ำของชุดยืนหลายชุด ซึ่งคาดว่าเกิดจากการได้เจอเชื้อโรคหลากหลาย นอกจากนี้ยังพบว่าการแสดงออกของยืน F-type lectins ขึ้นกับสภาพแวดล้อมและอุณหภูมิด้วย

F-type lectin ของปลากระพง (*Morone saxatilis*) (MsaFBP32) ซึ่งประกอบด้วย F-type motif 2 ชุดในโครงสร้าง ซึ่งมักพบร่วมกับโดเมนอื่น เช่น transmembrane receptor ซึ่งแสดงให้เห็นว่า lectin กลุ่มนี้มีหน้าที่ก่อวัวง MsaFBP32 ที่ด้าน N-terminal domain มีโครงสร้างเหมือน fucose recognition domain ใน agglutinin ของปลาไหล ส่วนด้าน C-terminal domain เป็นตำแหน่งที่ใช้จำแนกจำเพาะชนิดของ fucosylated ligands นอกจากนี้ยังพบว่าภายในยืนนี้มียืนสร้างช้าหลายชุด ทำให้ระบุได้ว่าเป็นส่วนที่มีความหลากหลายระหว่างพันธุกรรมสูง (Odom and Vasta, 2006)

F-type lectin จากปลาบีกเป็นชนิด III-FBPL precursor ซึ่งมีความเหมือนกับยืนนี้ของ plasma 2 ตำแหน่ง คือ ลำดับที่ 3-161 และ 165-306 โดยมีความเหมือนที่ 55% (89/161 amino acids) และ 59% (85/142 amino acids) ตามลำดับ (ภาพที่ 24) ยืน F-type lectin ของปลาบีกมีตำแหน่งอนุรักษ์ของ F5/8 type C domain ชิดด้าน C-terminus (ภาพที่ 25B)



ภาพที่ 23 โครงสร้างโปรตีน F-type lectin ของปลาไหล (*Anguilla anguilla*)

ที่มา : www.imperial.ac.uk/research/animallectins/ctld/classes/Fucolectin1.htm

> ref|NP_001077343.1| hypothetical protein LOC799904 [Danio rerio]
 gb|ABB29995.1| III-FBPL precursor [Danio rerio]
 Length=306

GENE ID: 799904 LOC799904 | III-FBPL precursor [Danio rerio]
 (10 or fewer PubMed links)

Score = 178 bits (452), Expect = 2e-43
 Identities = 85/142 (59%), Positives = 106/142 (74%), Gaps = 1/142 (0%)
 Frame = +2

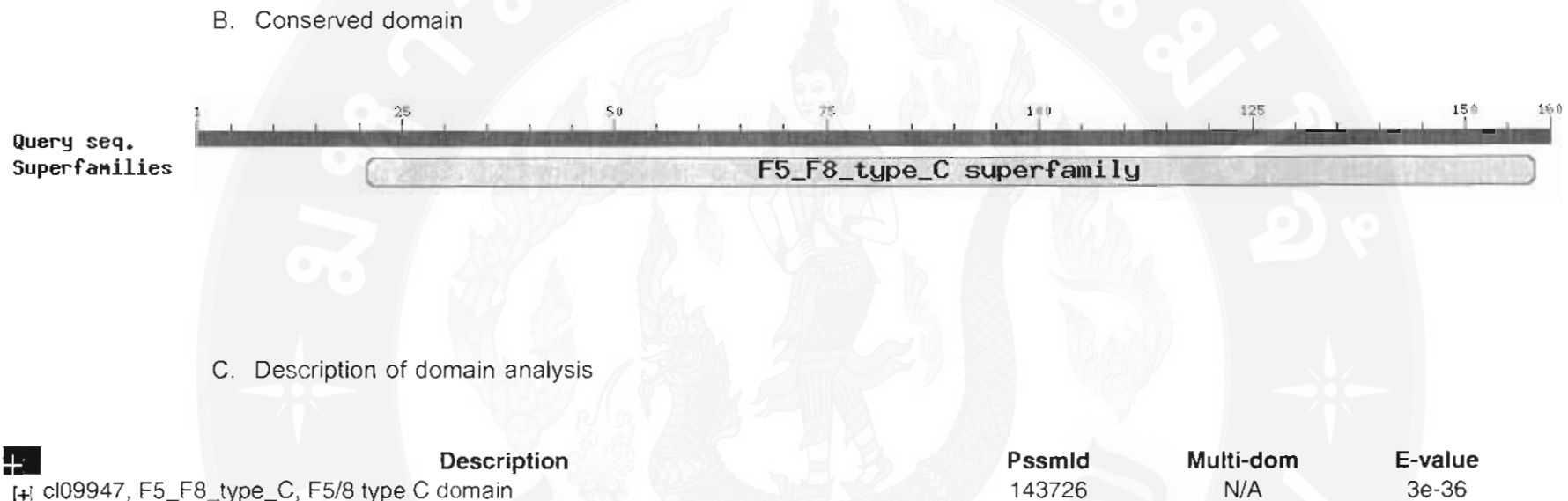
| | | | |
|-------|-----|---|-----|
| Query | 71 | TENLAVGAPAVQSSTYNLSGAAKNAVGDGNDSNYMRGSCTHTAGD-NPWWRVDLRKPHKV | 247 |
| | | +N+A GA QSST G A NAVDG++ Y +GSC+H+ G+ NPWWRVDL + + | |
| Sbjct | 165 | SKNIAAGAAVDQSSTVPHGDAGNAVGSTECKYKKGSCSHSLGETNPWWRVDLGRVFSI | 224 |
| Query | 248 | TRVI ITNRGDCCAERIAGAQIRIGNSLAYNGNRNWLVTTIRAIPIPSGGTQTFDFSPVKGRY | 427 |
| | | RV ITNRGDC ER+ GA+IRIGNSL NGN N LV T+ IP+G T+TF+F PV+GR+ | |
| Sbjct | 225 | RRVSITNRGDCCEERLNAGEIRIGNSLENNGNSNHLVATVEHI PAGNTETFEFQPVQGRF | 284 |
| Query | 428 | VNIYLPGTNKYLTLCEVQVFED 493 | |
| | | +NI LPG N YLTLCEVQVF D | |
| Sbjct | 285 | INIVLPGVNVLTLCEVQVFTD 306 | |

Score = 169 bits (429), Expect = 8e-41
 Identities = 89/161 (55%), Positives = 117/161 (72%), Gaps = 5/161 (3%)
 Frame = +2

| | | | |
|-------|-----|---|-----|
| Query | 14 | GDLVILLTLFPGLCIAHLTE-NLAVGAPAVQSSTYNLSGAAKNAVGDGNDSNYMRGSCT | 190 |
| | | G+ V+ L L GLC+ + NLA+GA AVQSST + G A++AVDGN++++Y +GSCT | |
| Sbjct | 3 | GEPVMYWLALLGLCVTDVAPANLALGAAAQSSTGDPNGNAEHAVDGNTADYRKGSC | 62 |
| Query | 191 | HTAGD-NPWWRVDLRKPHKVTRVI ITNRGDCCAERIAGAQIRIGNSLAYNGNRNWLVTT- | 364 |
| | | HT + NPWWRVDL V +V ITN GDCC ERI GAQIRIG+SL NGN N L T | |
| Sbjct | 63 | HTIREFNPPWWRVDLGGVISVNVKTITNTGDCCEERIRGAQIRIGDSLENNGNNNQLAATL | 122 |
| Query | 365 | IRAIPSGGTQTFDFSPVKGRYVNIIYLPGTNKYLTLCEVQVF 487 | |
| | | + AI G+QTF+F P++GRY+N++LPG ++ L+LCEV+VF | |
| Sbjct | 123 | LDAIK--GSQTFFQPIQGRYLNVFLPGNDETLSLCEVEVF 161 | |

A. Nucleotides and deduced peptides

| | |
|--|-----|
| CCCACCGCGTCCGGGGTGACCTGTGATTGCTCACACTTTCTGGCTGTGCATTGCTCATTTGACAGAGAATCTGCTGTTGG | 90 |
| G D L V I L L L T L F P G L C I A H L T E N L A V G | 26 |
| AGCTCCAGCTGTCCAGTCTTCTACATACAATTCTTAGGAGCTGCTAAAAATGCTGTTGATGCCAATAGTGA | 180 |
| C A T P A V Q S S T Y N S L G A A K N A V D G N S D S N Y M R G | 56 |
| GTCCTGCACTCACACTGCAGGGACAATCCGTGGAGAGTTGACTTGAGGAAACCACACAAGGTAACCAGGGTTATTATCACTAATCG | 270 |
| S C T H T A G D N P W W R V D L R K P H K V T R V I I T N R | 86 |
| AGGAGACTGTTGTGCAGAGAGGATAGCTGGCTCAGATCCGTATCGGCAACAGCCTGGCATATAATGGCAACAGAAATTGGCTGGTTAC | 360 |
| G D C C A E R I A G A Q I R I G N S L A Y N G N R N W L V T | 116 |
| AACTATTAGGGCCATCCCATCTGGAGGCACACAAACATTGATTTAGTCCTGTTAAGGGAGATATGTCAACATTATCTACCTGGGAC | 450 |
| T I R A I P S G G T Q T F D F S P V K G R Y V N I Y L P G T | 146 |
| CAATAAAATACCTCACTCTGTGAAAGTCAGGTGTTGAGGATTAAGTGCAGCAAGATGAAGTTACACCTCAGTCCACCCATCCCTGAAG | 540 |
| N K Y L T L C E V Q V F E D | 159 |
| CAAATA | 547 |



ภาพที่ 25 การวิเคราะห์ *P. gigas* III-FBPL precursor (EST clone O1004)

- A. ลำดับของอะมิโนแอคิดอยู่ที่ตำแหน่งแรกของ codon
- B. และ C. ผลการวิเคราะห์ตัวแทนโดเมน

Intercellular adhesion molecule 2 (ICAM2)

Intercellular adhesion molecules เป็นกลุ่ม Ig superfamily เป็น cell surface proteins ของเซลล์ทำหน้าที่เกี่ยวข้องกับการจับเซลล์อื่น ซึ่งมักจะเป็นเซลล์เม็ดเลือดขาว โดยการจับนี้ มีทั้งการจับกับเซลล์ตัวเอง การจับกับ endothelial cells การจับกับ extracellular matrix หรือการส่งสัญญาณของแผลและการติดเชื้อ ก็เกี่ยวข้องกับกลไกการจับของ ICAMs สามารถแบ่ง ICAMs ได้เป็น 3 กลุ่ม ได้แก่ immunoglobulin (Ig) superfamily, integrin family และ selectin family

ICAMs กลุ่ม Ig superfamily ประกอบด้วย ICAM-1, ICAM-2, ICAM-3, VCAM-1 และ MadCAM-1 ซึ่งทำหน้าที่จับกับ integrins บนเม็ดเลือดขาว และเป็นตัวกลางช่วยให้เซลล์เม็ดเลือดขาวลีบตัวออกนอกเส้นเลือดไปสู่เนื้อเยื่อบริเวณที่เกิดบาดแผลได้

สำหรับ ICAMs กลุ่ม integrin family เป็น receptors ของ ICAMs และ VCAMs integrins มีโครงสร้างเป็น heterodimeric proteins ประกอบด้วย 2 หน่วยย่อย คือ alpha และ beta chain ทำหน้าที่เป็นตัวกลางของเม็ดเลือดขาวในการจับกับ vascular endothelium หรือกลไกการจับระหว่างเซลล์ตัวยกันเอง (cell-cell interactions) เซลล์เม็ดเลือดขาวแต่ละชนิดจะมี integrins ที่แตกต่างกัน ซึ่งจะมีความจำเพาะต่อ ICAMs ต่างชนิดซึ่งอยู่ที่ vascular endothelium.

ส่วน selectin family ประกอบด้วย L-selectin, P-selectin และ E-selectin, เกี่ยวข้องในการจับของเม็ดเลือดขาวกับ activated endothelium โดยกลไกการจับนี้เกิดจากปฏิกิริยาอย่างอ่อนแบบ rolling motion ของเม็ดเลือดขาวไปบน endothelial surface P-Selectin และ L-Selectin ทำงานร่วมกันในกลไกนี้ ส่วน E-selectin เป็นปฏิกิริยาแบบแรงซึ่งเกิดต่อเนื่องจากปฏิกิริยาอย่างอ่อน ข่วยให้เม็ดเลือดขาวออกนอกเส้นเลือดไปสู่ lymphoid tissues และตำแหน่งที่มีการอักเสบได้

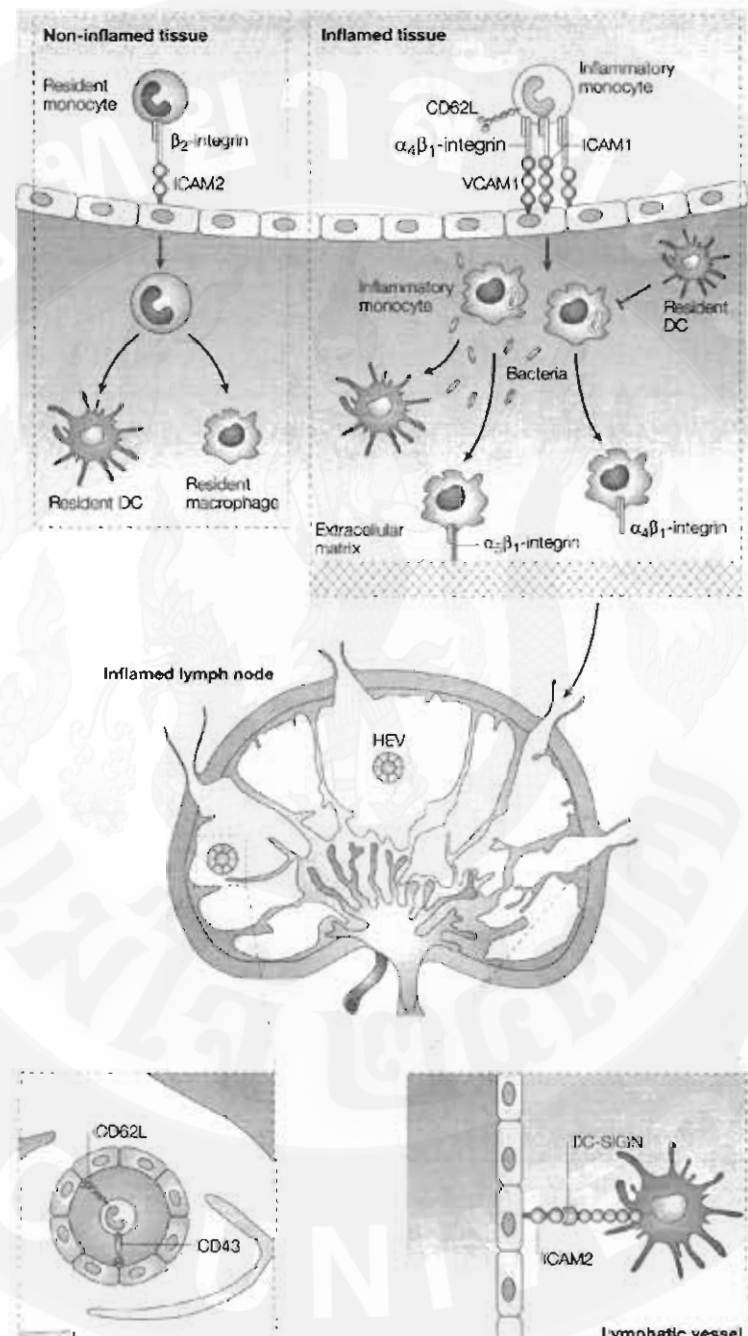
ICAM2 หรือ CD102 (Cluster of Differentiation 102) เป็น type I transmembrane glycoproteins ประกอบด้วย 2-9 immunoglobulin-like C2-type domains และจับกับ leukocyte adhesion LFA-1 protein ICAM2 มีบทบาทสำคัญในกระบวนการ lymphocyte recirculation by blocking LFA-1-dependent cell adhesion. เป็นตัวกลางสำหรับปฏิกิริยาการจับ (adhesive interactions) ในระบบภูมิคุ้มกันจำเพาะ ได้แก่ antigen-specific

immune response, NK-cell mediated clearance, lymphocyte recirculation และการจับกันของโปรตีน

ICAM2 มีความสำคัญมากในระบบตอบสนองต่อเชื้อโรคและการอยู่รอดของเซลล์ ซึ่งเกี่ยวข้องในระบบภูมิคุ้มกันทั้งแบบทั่วไป (innate immunity) และจำเพาะ (specific immunity) ICAM2 แสดงออกที่ เซลล์เลือดขาว, T และ B lymphocytes, monocytes, platelets, early CD34+ hematopoietic progenitor cells และ endothelial cells โดยทำงานในขบวนการ ให้เลือดเข้าสู่เนื้อเยื่อต่างๆ (Staun-ton et al., 1989; de Fougerolles et al., 1991; Diacovo et al., 1994) มีรายงานความเกี่ยวข้องของ ICAM2 ในระบบภูมิคุ้มกันทั่วไป ได้แก่ ช่วยลดกลไกการอักเสบในปอดจากอาการภูมิแพ้โดย หยุดยั้งการสะสมเซลล์เลือดขาวชนิด eosinophil ในเซลล์ปอด (Gerwin et al., 1999) เกี่ยวข้องกับ cell survival signal และสามารถยับยั้งการเกิด apoptosis ได้ (Perez et al., 2002) ช่วยให้ [gamma][delta]- T-cells กำจัดเซลล์มะเร็ง pancreatic cancer cells ได้ (Zhiyong et al., 2009)

ขั้นส่วน ICAM2 จากปลาบึกที่ได้ มีความเหมือนมากกับยีนนี้ของมนุษย์ถึง 92% (158/171 amino acids) จากลำดับที่ 61-231 (ภาพที่ 28) ซึ่งเป็นส่วนกลางของโปรตีน โดยมี ตำแหน่งองุรุกซ์ของ ICAM N-terminal domain และบางส่วนของ Ig superfamily (ภาพที่ 29B) และเมื่อเปรียบเทียบส่วน ICAM domain กับ ICAM1 และ ICAM2 ของมนุษย์และหนูน้ำ พบว่ามี ตำแหน่งองุรุกซ์ภายใน เช่นกัน (ภาพที่ 30)

ยีนและโปรตีนชนิดนี้มีรายงานพบเฉพาะในสัตว์เลี้ยงลูกด้วยนมเท่านั้น โดย รายงานจากการวิจัยนี้ เป็นรายงานแรกที่พับในปลา



ภาพที่ 26 การทำงานร่วมกันของ Intercellular adhesion molecules

CD62 ligand (CD62L หรือ L-selectin) กระดับให้เม็ดเลือดขาวกลิ้งไปบน vascular endothelium และ integrins จึงเข้ามาทำงาน ส่วน ICAM2 หน้าที่เป็น counter-receptor สำหรับ monocyte β_2 -integrins ในขบวนการที่ไม่เกิดการอักเสบ

ICAM1, ICAM2 และ VCAM1 เกี่ยวข้องกับการเคลื่อนย้ายของ monocytes ไปสู่เนื้อเยื่อที่มีการอักเสบ เมื่อ inflammatory monocytes เคลื่อนที่ไปถึง peripheral tissue จะใช้ $\alpha_4\beta_1$ - and $\alpha_5\beta_1$ -integrins เพื่อการจับกับ extracellular matrix และส่งสัญญาณไปที่ lymph node นอกจากนี้ inflammatory monocytes ยังส่งสัญญาณไปยัง lymph nodes โดยผ่าน high endothelial venules (HEVs) ซึ่งใช้ CD62L และ CD43 มีการเคลื่อนย้ายของ activated dendritic cells (DCs) จากเนื้อเยื่อที่อักเสบผ่านทางระบบน้ำเหลืองด้วย โดยมี DC-specific ICAM3-grabbing non-integrin (DC-SIGN) เป็น counter-receptor สำหรับ ICAM2

ที่มา : Imhof and Aurrand-Lions, 2004



ภาพที่ 27 โครงสร้างโปรตีน Intercellular adhesion molecule 2 (ICAM2) ของมนุษย์

ที่มา : <http://en.wikipedia.org/wiki/ICAM2>

```
> gb|EAW94220.1| intercellular adhesion molecule 2, isoform CRA_d [Homo sapiens]
Length=330
```

```
GENE ID: 3384 ICAM2 | intercellular adhesion molecule 2 [Homo sapiens]
(Over 10 PubMed links)
```

```
Score = 322 bits (826), Expect = 7e-87
Identities = 158/171 (92%), Positives = 161/171 (94%), Gaps = 0/171 (0%)
Frame = +3
```

| | | | | |
|-----------|---|------------------------------------|------------------------------------|-----|
| Query 33 | GSPWLVPASPWRLPEMSSIGYRTLTV | ALFTLICCPGSDEKVFEVHVRPKKLAVEPKGSLE | 212 | |
| Sbjct 61 | GSPWLVPASPWRLPEMSS | GYRTLTV | ALFTLICCPGSDEKVFEVHVRPKKLAVEPKGSLE | 120 |
| Query 213 | VNCGTTCNQPEVGGLETSLDKILLE | VQAQWKQNLSNISHDTVLQCHFTCSAKLES | MNSN | 392 |
| Sbjct 121 | VNC | TTCNQPEVGGLETSLDKILL+ | QAQWK LVSNISHDTVLQCHFTCS K ESMNSN | |
| Query 393 | VSVYQPPRQVILTLQPTLVAVGKSFTIECRVPTVERLDSLRLNLFRGNDSL | 545 | | |
| Sbjct 181 | VSVYQPPRQVILTLQPTLVAVGKSFTIECRVPTVE | LDSL L LFRGN++L | | |
| | PLDSITLFLFRGNETI | 231 | | |

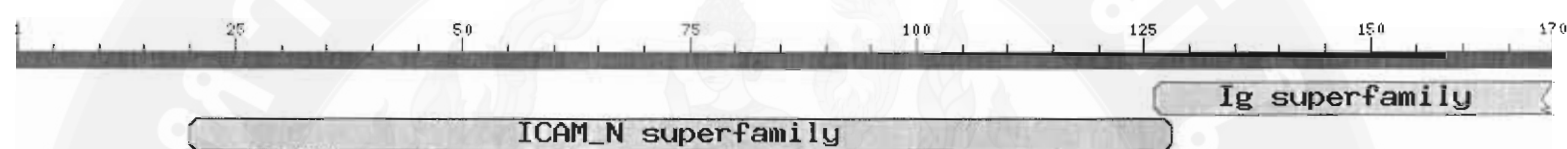
ภาพที่ 28 BLASTX alignment ของ EST clone O1005

A. Nucleotides and deduced peptides

| | |
|---|-----|
| AAGCTCAGACCTGCGGGCACCATCTCCCTCCAGGCAGCCCTGGCTGGCTCCCTGCGAGCCCGTGGAGACTGCCAGAGATGTCCCTATCG | 90 |
| G S P W L V P A S P W R L P E M S S I G | 20 |
| | |
| GTTACAGGACCTGACTGTGGCCCTCTTCACCCTGATCTGCTGTCCAGGATCGGATGAGAAGGTATTGAGGTACACGTGAGGCCAAAGA | 180 |
| Y R T L T V A L F T L I C C P G S D E K V F E V H V R P K K | 50 |
| | |
| AGCTGGCGTTGAGCCCAAAGGGTCCCTCGAGGTCAACTGCGGCACCACCTGTAACCAGCCTGAAGTGGGTGGCTGGAGACCTCTCTAG | 270 |
| L A V E P K G S L E V N C G T T C N Q P E V G G L E T S L D | 80 |
| | |
| ATAAGATTCTGCTGGAGGTACAGGCACAGTGGAAACAAAATTGGCTCTAACACATCTCCATGACACGGTCCTCCAATGCCACTTCACCT | 360 |
| K I L L E V Q A Q W K Q N L V S N I S H D T V L Q C H F T C | 110 |
| | |
| GCTCCGCCAAGCTGGAGTCAATGAATTCCAACGTCAGCGTGTACCAGCCTCCAAGGCAGGTCACTCTGACACTGCAACCCACTTGGTGG | 450 |
| S A K L E S M N S V S V Y Q P P R Q V I L T L Q P T L V A V | 140 |
| | |
| CTGTGGCAAGTCCTCACCATTGAGTCAGGGTCCCCACCGTGGAGCGGCTGGACAGCCTCAGGCTCAACCTGTTCCGTGGCAATGACA | 540 |
| G K S F T I E C R V P T V E R L D S L R L N L F R G N D S L | 170 |
| | |
| GTCTC | 545 |

B. Conserved domain

Query seq.
Superfamilies



C. Description of domain analysis



Description

[+]pfam03921, ICAM_N, Intercellular adhesion molecule (ICAM), N-terminal domain
[+]Ig super family[cl11960], Ig: immunoglobulin (Ig) domain found in the Ig superfamily. The Ig superfamily is a...

| PssmId | Multi-dom | E-value |
|------------------------|-----------|----------|
| 112721 | N/A | 4e-36 |
| 176433 | no | 1.74e-10 |

ภาพที่ 29 การวิเคราะห์ *P. gigas* ICAM2 (EST clone O1005)

- A. ลำดับของอะมิโนแอซิดอยู่ที่ตำแหน่งแรกของ codon
B. และ C ผลการวิเคราะห์ตัวแทน่โดยmen

| | | |
|--------------------|--|-----|
| giant catfish | 19 GYRTTLTLETLICCPGSDEKEFVHVRPKKLAVEPKGSLEVNCGTTCNQPEVGGLETSLDKILLEV | 86 |
| human ICAM-2 | 4 ACWSLSSLILFYSPGSGEKFVYIWSEWQTVEATESWKINCSTNCAAPDMGGLETPTNKIMLEE | 69 |
| house mouse ICAM-2 | 4 GYRTTLTLETLICCPGSDEKEFVHVRPKKLAVEPKGSLEVNCSTCNQPEVGGLETSLDKILLDE | 71 |
| human ICAM-1 | 5 PRPALPILALVILGALEPGFGAQTSVSPSKVILPPGGSVLVTCSTCDQPKLIGIETPLPKELLL | 71 |
| house mouse ICAM-1 | 5 AKPTPLPLALVTVIRPGPGAQVSIHPREAMLPQGGSVQVNCCSSCKEDLSLGLETQWLKDLES | 71 |
| human ICAM-3 | 12 ACWTLLVCCCLTPGVQQQEFLLRVEPQMPVLSAGGSLEVNCSTDPSSEKIALETSLSKELVAS | 76 |
| | | |
| giant catfish | 87 AQWKQHILVSNISHDTVLQCHFTCSAKLESMNSVSVYQPPRQ | 128 |
| human ICAM-2 | 70 QGWKQFLVSNVSKDVTFFCHFTCSGKQHSESLIIVVQPPAQ | 114 |
| house mouse ICAM-2 | 72 QAWKRYILVSNISHDTVLQCHFTCSGKQESMNSVSVYQPPRQ | 114 |
| human ICAM-1 | 72 NNRKVYELSNVQEEDSQPMCYNSNCSDGQSTAKTLTVYWTPER | 115 |
| house mouse ICAM-1 | 72 PNWKLFELSEITGEQSSPLCFENCGTVQSSASAITVYSFPES | 114 |
| human ICAM-3 | 77 MGWAAPNLISNVTGNSRILCSVYCNQSGITGESITVYRLPER | 119 |

ภาพที่ 30 การเปรียบเทียบโดเมน ICAM ของปลาบึกและสัตว์เลี้ยงลูกด้วยนม

Human ICAM-1 (*Homo sapiens*) (gi 68067956), house mouse ICAM-1(*Mus musculus*) (gi 124099), human ICAM-3 (gi 206729872), human ICAM-2, house mouse ICAM-2 (gi 462381)



สรุปผล

จากผลยืนหังหมดสามารถแบ่งเป็นยืนกลุ่มต่างดังนี้

1. ยืนเกี่ยวข้องกับการตกไข่ 2 ยืนจาก ovulation cDNA libraries ได้แก่ activin A type II like 1 receptor และ cystatin precursor
2. ยืนเกี่ยวข้องในระบบภูมิคุ้มกัน 4 ยืนจาก ovulation cDNA libraries ได้แก่ III-FBPL precursor (F-type lectin) intercellular adhesion molecule 2 (ICAM2), MHC class II beta chain และ MHC class II alpha chain
3. ยืนของ ribosomal proteins 8 ยืน ได้แก่ ribosomal L5, L7, L11, L23a, L24, L37, 60S Acidic ribosomal protein P1 และ L37
4. ยืนเกี่ยวข้องกับการแปลรหัส 3 ยืน ได้แก่ elongation factor-1 alpha, eukaryotic translation elongation factor 1 beta 2 และ zinc finger
5. ยืนเกี่ยวข้องกับขนส่ง 3 ยืน ได้แก่ alpha-globin, beta-globin และ glucose transporter X
6. ยืนเกี่ยวข้องกับเมตาบอลิซึม 6 ยืน ได้แก่ cytochrome c oxidase subunit III, pyruvate dehydrogenase alpha 2, pyruvate dehydrogenase beta, ubiquinol-cytochrome c reductase, 1-acylglycerol-3-phosphate และ O-acyltransferase 3
7. ยืนเกี่ยวข้องกับโครงสร้างและการฟื้นฟิวตอยู่ 2 ยืน ได้แก่ alpha 3 actin และ WW domain binding protein 2
8. ยืนเกี่ยวข้องกับการส่งสัญญาณและการสื่อสาร 1 ยืน ได้แก่ protein kinase C and casein kinase substrate
9. ยืนที่พบ ORF 1 ยืน ได้แก่ ORF2-encoded protein
10. ยืนที่ไม่รู้จัก จำนวน 24 ยืน

โดยยืนของ ICAM2 เป็นรายงานแรกที่พบในปลา

พบว่า รูปแบบการแสดงออกของยืนระหว่างแม่ปลาในระหว่างฤดูวางไข่และนอก
วางไข่มีความแตกต่างกันชัดเจน ทั้งกลุ่มของโปรตีนจากยืนเหล่านี้ และชนิดของโปรตีนจาก
งานวิจัยนี้ได้พบยืนหังหมด 30 ชนิด ซึ่งหังหมดเป็นรายงานแรกในปลาบึกและปลาหนัง และจากผล
ยืนที่ได้สามารถประเมินได้ว่า สารชีวโมเลกุลที่นำจะเกี่ยวข้องกับการตกไข่ในแม่ปลาบึก ได้แก่
activin A receptor และ cystatin precursor ซึ่งพบใน ovulation cDNA libraries เท่านั้น
นอกจากนี้ยังพบยืนที่เกี่ยวข้องกับระบบภูมิคุ้มกัน 3 ยืน ได้แก่ III-FBPL precursor (F-type lectin)
intercellular adhesion molecule 2 (ICAM2) และ MHC class II beta chain

ดังนั้นอาจสรุปได้ว่า แม่ปลาในช่วงวางไข่จะมีการทำงานของระบบลิริเวิทิยาที่แตกต่างจากช่วงเวลาปกติ โดยมีการผลิตโปรตีนทำงานที่แตกต่างมี 2 กลุ่ม คือ โปรตีนที่เกี่ยวข้องกับการวางไข่ และโปรตีนที่เกี่ยวข้องกับระบบภูมิคุ้มกัน

ยืนสำหรับโปรตีนที่เกี่ยวข้องการวางไข่ที่ได้จากการวิจัยทั้ง 2 ปีนี้ สามารถนำไปศึกษาพัฒนาให้เป็นเครื่องหมายในระดับโมเลกุล (molecular marker) เพื่อระบุถึงการวางไข่ของแม่ปลาบีกได้ นอกจากนี้ควรที่นำข้อมูลยืนเกี่ยวข้องกับระบบภูมิคุ้มกันของปลาบีกไปศึกษาเนื่องจากยังไม่มีรายงานการเกิดโรคปลาบีกธรรมชาติหรือการระบาดของโรคในปลาบีกเดิม ทั้งที่เป็นปลาหนังและอายุยาวนาน ซึ่งคาดว่าระบบภูมิคุ้มกันของปลาบีกน่าจะมีประสิทธิภาพสูง

ข้อเสนอแนะ

การเก็บตัวอย่างเลือดปลาบีก ควรดำเนินการใช้ช่วงเช้า เพราะช่วงบ่ายปลาจะมีความเครียดสูง การเกิดลิมิลิเม็ดรวมเดียว ทำให้เลือดข้น น้ำยาเก็บรักษาเย็นในเซลล์เลือดไม่สามารถเข้าถึงเซลล์ได้ดี มีผลให้ได้ปริมาณยืนลดลง

บรรณานุกรม

- กรมประมง กระทรวงเกษตรและสหกรณ์. 2540. ภาพปลาและสัตว์น้ำของไทย. พิมพ์ครั้งที่ 3.
องค์การค้าครุสภาก. 325 หน้า.
- กรมประมง. 2527. การเพาะเลี้ยงปลาบึก. เอกสารเผยแพร่ กรมประมง กระทรวงเกษตรและสหกรณ์. 9 หน้า.
- กองประมงน้ำจืด. 2532. แนวทางการอนุบาลปลาบึกวัยอ่อน. สัมมนาวิชาการ กรมประมง. หน้า 1-19.
- เกรียงศักดิ์ เม่งคำพัน. 2543. ปลาบึก. เอกสารเผยแพร่ ชุด โครงการ "อุดสาหกรรมสัตว์น้ำ" สก. ชุดที่ 1. สำนักงานกองทุนสนับสนุนการวิจัย (สก.). 134 หน้า.
- เข็มชาติ นิ่มสมบูรณ์, ยงยุทธ ทักษิณ และเกียรติคุณ เจริญสวารค์. 2530. การเพาะพันธุ์ปลาบึกที่เลี้ยงในกระชัง. รายงานประจำปี สถานีประมงน้ำจืด นครสวารค์. กองประมงน้ำจืด กรมประมง. หน้า 30-33.
- จิราพร ใจจนทินกร. 2547. การเตรียมไข่ปลาสูกในห้องทดลองเพื่อประสิทธิภาพการผสมเทียมปลาบึก (*Pangasianodon gigas*). ทุนสนับสนุนการวิจัยและอาจารย์รุ่นใหม่ รหัสโครงการ MRG4680067. ทบวงมหาวิทยาลัยและสำนักงานกองทุนสนับสนุนการวิจัย (สก.).
- ชาลิต วิทยานนท์ และสมศักดิ์ รุ่งทองไนสุรีย์. 2536. อนุกรรมวิธานปลาบึกและปลาสวยงาม (วงศ์ Pangasiidae). สถาบันวิจัยการเพาะเลี้ยงสัตว์น้ำจืด. กรมประมง. 57 หน้า.
- ธีรพันธ์ ภูคานสรรค์. 2511. ปลาบึก. วารสารการประมง 21(3):244-252.
- ธีรพันธ์ ภูคานสรรค์. 2526. ป้าบึกเจียงของ. วารสารการประมง 36(4):399-346.
- นภาพร ศรีพุฒิวนพน. 2529. การทดลองเลี้ยงปลาบึกด้วยอาหารชนิดต่างๆ. รายงานการประชุมวิชาการ มหาวิทยาลัยเกษตรศาสตร์ ครั้งที่ 24 สาขาประมง. หน้า 289-292.
- นฤพล สุขุมมาสвин และวัฒนະ ลีลาภัทร. 2537. วงจรการสืบพันธุ์ในรอบปีของแม่ปลาตะเพียนขาว. วารสารการประมง 47(1): 21-30.
- มนัส จันทรสูตร, เรวัติ ฤทธาภรณ์, สมหวัง พิมลบุตร, สุรพงษ์ วิรชรโภเศษ และนฤมล สุขุมมาสвин. 2532. การเพาะพันธุ์ปลาบึกปี 2531. รายงานประจำปี 2530-2531. สถานีประมงน้ำจืด จังหวัดพะเยา กองประมงน้ำจืด กรมประมง กระทรวงเกษตรและสหกรณ์. หน้า 31-42.
- ยงยุทธ อุนากรสวัสดิ์, ปฐมวดี ปิตาภโน และ เมฆา คชาภิชาติ. 2544. การเพาะพันธุ์ปลาบึก ครั้งแรกของโลกจากพ่อแม่พันธุ์ที่เลี้ยงในบ่อ din. สถานีประมงน้ำจืดจังหวัดพะเยา. 57 หน้า

- วิจัย ศรีสุวรรณหัช, นานพ ตั้งตรงไพบูลย์ และสมศักดิ์ ล้วนปรีดา. 2527. การอนุบาลปลาบึง.
สถานีประมงน้ำจืดแห่งชาติ.
- วีระชัย โชติรัตนศักดิ์. 2535. การศึกษาลักษณะทางมิภูมิวิทยาของอวัยวะสืบพันธุ์ในปลาบึง.
วิทยานิพนธ์ปริญญาโท. สาขาวิชาวิทยา, ภาควิชาสัตววิทยา, คณะวิทยาศาสตร์,
มหาวิทยาลัยเกษตรศาสตร์. 75 หน้า.
- เสน่ห์ ผลประสิทธิ์ และภาณุ เทวรัตน์มณีกุล. 2541. ชีววิทยาและการเพาะเลี้ยงปลาบึง. วารสาร
การประมง 51(2):107-115.
- เสน่ห์ ผลประสิทธิ์, ภาณุ เทวรัตน์มณีกุล และ กฤษณ์ มงคลปัญญา. 2536. การเพาะขยายพันธุ์
ปลาบึง. วารสารการประมง 46(5):339-415.
- เสน่ห์ ผลประสิทธิ์, ภูวดล ภูวพาณิช และ เพ็ญพรรณ ศรีสกุลเตี้ยว. 2529. การศึกษาประวัติปลา
บึงที่ติดเครื่องหมายในแหล่งน้ำ. วารสารการประมง 39: 555-561.
- เสน่ห์ ผลประสิทธิ์, มาโนช เบญจกากุจัน และ เววัต ฤทธาภรณ์. 2535. การพัฒนาระบบการเลี้ยง
ปลาบึงเชิงพาณิชย์. เอกสารวิชาการฉบับที่ 14. กองประมงน้ำจืด กรมประมง. 51 หน้า.
- เสน่ห์ ผลประสิทธิ์. 2526. การผสมเทียมปลาบึง. วารสารการประมง 36(4):347-360.
- เสน่ห์ ผลประสิทธิ์. 2527. การเพาะพันธุ์ปลาบึง. เอกสารการประชุมวิชาการครั้งที่ 22 สาขาประมง
มหาวิทยาลัยเกษตรศาสตร์. หน้า 403.
- อุทัยรัตน์ ณ นคร. 2531. การเพาะขยายพันธุ์ปลา ภาควิชาเพาะเลี้ยงสัตว์น้ำ คณะประมง
มหาวิทยาลัยเกษตรศาสตร์. 146 หน้า
- Abrahamson M, Alvarez-Fernandez M and Nathanson CM. 2003. Cystatins. Biochemical
Social Symposium (70):179-99.
- Baird G. 1996. Khnoe Falls Fisheries. Mekong Fisheries Network Newsletter 2(2):1-5.
- Barrett A.J. 1986. The cystatins: a diverse superfamily of cysteine peptidase inhibitors.
Biomedical Biochemical Acta 45(11-12):1363-74.
- Bianchet, M.A., Odom, E.W., Vasta, G.R. and Amzel, L.M. 2002. A novel fucose
recognition fold involved in innate immunity. Natural Structural & Molecular
Biology 9(8):628-34.
- Colella R., Yoshiaki Sakaguchi Y., Hideaki Nagase H., and Bird J.W.C. 1989. Chicken
Egg White Cystatin : Molecular cloning, nucleotide sequence, and tissue
distribution. The Journal of Biological Chemistry 264 (29): 17164-17169.

- Chen Q.A, Wang Z.G., Xu Z.R., Dong Yu S.D. and Yang Z.G. 2009. Analysis of gene expression in granulosa cells of ovine antral growing follicles using suppressive subtractive hybridization. Animal Reproduction Science.
- Chen Y.C., Jan-Ming H., Lee, Shyh-Jye. 2006. Profile analysis of expressed sequence tags derived from the ovary of tilapia, *Oreochromis mossambicus*. Aquaculture. 251,537 – 548.
- Chu S.L., Weng, Ching-Feng., Hsiao, Chung-Der., Hwang, Pung-Pung., Karsi A., Li P., Dunham R A. and Liu Z J. 1998. Transcriptional activities in the pituitaries of channel catfish before and after induced ovulation by injection of carp pituitary extract as revealed by expressed sequence tag analysis. Molecular Endocrinology.21, 121–129.
- Diacovo T.G., deFougerolles A.R., Bainton D.F. and Springer T.A. 1994. A functional integrin ligand on the surface of platelets: inter-cellular adhesion molecule-2. Journal of Clinical Investigation 94: 1243-1251.
- deFougerolles A.R., Stacker S.a., Schwarting R. and Springer T.A. 1991. Characterization of ICAM-2 and evidence for a third counter-receptor for LFA-1. Journal of Experiment Medicine 174: 253-267.
- Erickson G.F. 1997. Dissociation of Endocrine and Gametogenic Ovarian Function. In Lobo, R. (ed.): Perimenopause. Serono Symposia, Springer-Verlaag, Reproduced with permission from Springer-Verlag, New York.
- Erickson G.F. and Shimasaki S. 2000. The role of the oocyte in folliculogenesis. Trends Endocrinol Metab 11:193.
- Gahmberg C.G., Tian L., Ning L., Nyman-Huttunen H. 2008. ICAM-5 – A novel two-facetted adhesion molecule in the mammalian brain. Immunology Letters 117: 131-135.
- Gerwin, N., Gonzalo, J.A., Lloyd, C., Coyle, A.J., Reiss, Y., Banu, N., Wang, B., Xu, H., Avraham, H., Engelhardt, B., Springer, T.A., Gutierrez-Ramos, J.C. 1999. Prolonged eosinophil accumulation in allergic lung interstitium of ICAM-2 deficient mice results in extended hyperresponsiveness. Immunity 10: 9-19.

- Imhof B.A. and Aurrand-Lions M. 2004. Adhesion mechanisms regulating the migration of monocytes. *Nature Reviews Immunology* 4: 432-444.
- Jones A.L., Hulett M.D. and Parish C.R. 2005. Histidine-rich glycoprotein: A novel adaptor protein in plasma that modulates the immune, vascular and coagulation systems. *Immunochemistry and Cell Biology* 83: 106–118.
- Kobayashi M., Aida K. and Hanyu I. 1986. Annual changes in plasma levels of gonadotropin and steroid hormones in goldfish. *Bull. Japan. Soc. Sci.* 52(7), 1153-1158.
- Li C.J., Li Zhou, Wang Y., Hong Y.H. and Gui J.F. 2005. Molecular and expression characterization of three gonadotropin subunits common α , FSH β and LH β in groupers. *Molecular and Cellular Endocrinology* 233 (2005) 33–46.
- Odom E.W. and Vasta G.R. 2006. Characterization of a Binary Tandem Domain F-type Lectin from Striped Bass (*Morone saxatilis*). *J. Biol. Chem.* 281(3) 1698-1713.
- Perez O.D., Kinoshita S., Hitoshi Y., Payan D.G., Kitamura T., Nolan G.P. and Lorens J.B. 2002. Activation of the PKB/AKT pathway by ICAM-2. *Immunity* 16(1): 51-65.
- Scott A.P., Bye V.J., Baynes S.M. and Springate J.R.C. 1980. Seasonal variations in plasma concentration of 11-ketotestosterone and testosterone in male rainbow trout, *Salmo gairdneri*, Richardson. *Fish Bilo.* 17, 495-505.
- Sheng Z. and Gong Z. 2002. Expressed sequence tag analysis of expression profiles of zebrafish testis and ovary
- Staunton D.E., Dustin M.L. and Springer T.A. 1989. Functional cloning of ICAM-2, a cell adhesion ligand for LFA-1 homologous to ICAM-1. *Nature* 339: 61-64.
- Sültmann H., Mayer W.E., Figueroa F., O'hUigin C., Klein J. 1993. Zebrafish Mhc class II alpha chain-encoding genes: polymorphism, expression, and function. *Immunogenetics* 38 : 408–420.
- Sültmann H., Mayer W.E., Figueroa F., O'hUigin C., Klein J. 1994. Organization of Mhc class II B genes in the zebrafish (*Brachydanio rerio*). *Genomics* 23 :1–14.

- Tsai Y-J, Chang G-D., Huang C-J., Chang Y-S. and Huang F.L. 1996. Purification and Molecular Cloning of Carp Ovarian Cystatin. Comparative Biochemical Physiology 113B (3): 573-580.
- Turk V., Stoka V. and Turk D. 2008 . Cystatins: biochemical and structural properties, and medical relevance. Frontiers of Bioscience 13:5406-20.
- Valentina C., Cattaneo A.G., Rossi F., Bernardini G., Terova G., Saroglia M. and. Gornati R. 2008. Genes expressed in Blue Fin Tuna (*Thunnus thynnus*) liver and gonads. Gene. 410, 207-213.
- Williams C.J. and Erickson G.F. 2008. Morphology and physiology of the ovary. Endotext.com เข้าถึงได้จาก <http://www.endotext.org/female/female1/femaleframe1.htm>
- Yoder J.A., Haire R.N. and Litman G.W.. 1999. Cloning of two zebrafish cDNAs that share domains with the MHC class II-associated invariant chain. Immunogenetics 50: 84–88.
- Zhiyong L., Ben G. and Richard D.L. 2009. Expression of intercellular adhesion molecule (ICAM)-1 or ICAM-2 is critical in determining sensitivity of pancreatic cancer cells to cytolysis by human [gamma][delta]-T cells: Implications in the design of [gamma][delta]-T-cell-based immunotherapies for pancreatic cancer. Journal of Gastroenterology & Hepatology 24(5): 900-911.



ภาคผนวก

EST clones ของปลาบึกเพศเมียระหว่างฤดูวางไข่

| Clone | dbEST_Id | Accession no. | Putative identification | Closest species | Accession no. | Length | Identity | E-value |
|-------|----------|---------------|-----------------------------------|--|---------------|--------|---------------|-----------|
| O1004 | 70646568 | HO224396 | III-FBPL precursor | zebra fish (<i>Danio rerio</i>) | GI:78191600 | 547 | 85/142 (59%) | 2E-43 |
| O1005 | 70646569 | HO224397 | Intercellular adhesion molecule 2 | human (<i>Homo sapiens</i>) | GI:62089342 | 654 | 158/171 (92%) | 7.00E-87 |
| O1006 | 70646570 | HO224398 | pyruvate dehydrogenase alpha 2 | human (<i>Homo sapiens</i>) | GI:157696476 | 661 | 188/195 (96%) | 4.00E-104 |
| O1011 | 70646571 | HO224399 | cytochrome c oxidase subunit III | smallmouth bass <i>Micropterus dolomieu</i>) | GI:209427679 | 200 | 28/49 (57%) | 5E-03 |
| O1016 | 70646572 | HO224400 | unknown | | | 382 | | |
| O1021 | 70646573 | HO224401 | activin A receptor type II-like 1 | zebra fish (<i>Danio rerio</i>) | GI:24111232 | 666 | 203/218 (93%) | 2E-78 |
| O1024 | 70646574 | HO224402 | activin A receptor type II-like 1 | zebra fish (<i>Danio rerio</i>) | GI:24111232 | 666 | 203/218 (93%) | 1E+00 |
| O1029 | 70646575 | HO224403 | ribosomal protein L24 | zebra fish (<i>Danio rerio</i>) | GI:37747968 | 573 | 54/72 (75%) | 1E-51 |

| Clone | dbEST_Id | Accession no. | Putative identification | Closest species | Accession no. | Length | Identity | E-value |
|-------|----------|---------------|--|--|---------------|--------|---------------|----------|
| O1034 | 70646576 | HO224404 | Unknown | | | 425 | | |
| O1037 | 70646577 | HO224405 | elongation factor-1 alpha | zebra fish (<i>Danio rerio</i>) | GI:53734016 | 432 | 23/27 (85%) | 5.00E-10 |
| O2003 | 70646578 | HO224406 | unknown | | | 398 | | |
| O2007 | 70646579 | HO224407 | ribosomal protein L23a | zebra fish(<i>Danio rerio</i>) | GI:335539 | 558 | 37/39 (94%) | 1.00E-43 |
| O2009 | 70646580 | HO224408 | alpha globin | common carp (<i>Cyprinus carpio</i>) | GI:2208885 | 385 | 39/46 (84%) | 9.00E-29 |
| O2012 | 70646581 | HO224409 | pyruvate dehydrogenase beta | horse (<i>Equus caballus</i>) | GI:100050581 | 717 | 107/161 (66%) | 2E-50 |
| O2013 | 70646582 | HO224410 | unknown | | | 257 | | |
| O2020 | 70646583 | HO224411 | elongation factor 1 beta 2 | zebra fish (<i>Danio rerio</i>) | GI:41053941 | 816 | 133/170 (78%) | 1.00E-69 |
| O2021 | 70646584 | HO224412 | cytochrome c oxidase subunit 5B, mt precursor | zebra fish (<i>Danio rerio</i>) | GI:50344982 | 646 | 98/111 (88%) | 2E-55 |
| O2023 | 70646585 | HO224413 | Unknown | | | 720 | | |

| Clone | dbEST_Id | Accession no. | Putative identification | Closest species | Accession no. | Length | Identity | E-value |
|-------|----------|---------------|--|---|---------------|-------------|---------------|----------|
| O2029 | 70646586 | HO224414 | unknown | | | 715 | | |
| O2030 | 70646587 | HO224415 | unknown | | | 879 | | |
| O2031 | 70646588 | HO224416 | alpha-globin | common carp (<i>Cyprinus carpio</i>) | GI:30507 | 494 | 94/139 (67%) | 1.00E-39 |
| O2040 | 70646589 | HO224417 | ribosomal protein P1 | zebra fish (<i>Danio rerio</i>) | GI:336719 | 239 | 37/39 (94%) | 2E-13 |
| O2048 | 70646590 | HO224418 | elongation factor 1 beta 2 | zebra fish (<i>Danio rerio</i>) | GI:41053941 | 816 | 133/170 (78%) | 1.00E-69 |
| O2051 | 70646591 | HO224419 | ribosomal protein L37 | black-legged tick(<i>Ixodes scapularis</i>) | GI:215503610 | 335 | 30/59 (50%) | 3E-14 |
| O2072 | 70646592 | HO224420 | protein kinase C and casein kinase substrate in neuron 2 | zebra fish (<i>Danio rerio</i>) | GI:404601 | 240 | 34/82 (41%) | 1E-04 |
| O2089 | 70646593 | HO224421 | MHC class II beta chain | channel catfish (<i>Ictalurus punctatus</i>) | GI:1763555 | 534 ,730 | 157/200 (78%) | 3E-91 |
| O2098 | 70646594 | HO224422 | alpha globin | common carp (<i>Cyprinus carpio</i>) | GI:30507 | 364 | 39/46 (84%) | 9.00E-29 |
| O5010 | 70646595 | HO224423 | ribosomal protein L7 | channel catfish (<i>Ictalurus punctatus</i>) | GI:336710 | 404 | 69/92 (75%) | 2E-32 |

| Clone | dbEST_Id | Accession no. | Putative identification | Closest species | Accession no. | Length | Identity | E-value |
|-------|----------|---------------|----------------------------|--|---------------|--------|---------------|----------|
| O5017 | 70646596 | HO224424 | unknown | | | 603 | | |
| O5029 | 70646597 | HO224425 | elongation factor 1 alpha | common carp (<i>Cyprinus carpio</i>) | GI:28628941 | 398 | 31/51 (60%) | 2E-03 |
| O5030 | 70646598 | HO224426 | cyslatin precursor | salmon (<i>Salmo salar</i>) | GI:209734846 | 642 | 42/107 (39%) | 2E-12 |
| O5031 | 70646599 | HO224427 | bela-globin | Korean catfish (<i>Parasilurus asolus</i>) | GI:13241083 | 346 | 58/75 (77%) | 2.00E-27 |
| O5045 | 70646600 | HO224428 | glucose transporter X | grass carp (<i>Ctenopharyngodon idella</i>) | GI:30025447 | 393 | 36/71 (50%) | 6.00E-16 |
| O5047 | 70646601 | HO224429 | Iransmembrane protein 144 | lunicates (<i>Monodelphis domestica</i>) | GI:198434124 | 497 | 29/65 (44%) | 3.00E-18 |
| O5048 | 70646602 | HO224430 | elongation factor 1 beta 2 | zebra fish (<i>Danio rerio</i>) | Gi:41053941 | 817 | 133/170 (78%) | 1E-69 |

EST clones ของปลาบึกเพศเมียนอกตุัวง ไข่

| Clone | dbEST_Id | Accession no. | Putative identification | Closest species | Accession no. | Length | Identity | E-value |
|-------|----------|---------------|---|---|---------------|--------|---------------|----------|
| A1006 | 70646552 | HO224380 | alpha 3 actin | Amberjack (<i>Seriola quinqueradiata</i>) | GI:47550655 | 281 | 17/22 (77%) | 0.004 |
| A1007 | 70646553 | HO224381 | bela globin | Korean catfish (<i>Parasilurus asotus</i>) | GI:13241083 | 236 | 39/46 (84%) | 8.00E-16 |
| A1009 | 70646554 | HO224382 | ribosomal protein L5 | African lungfish (<i>Protopterus dolloi</i>) | GI:44966839 | 324 | 42/79 (53%) | 3.00E-22 |
| A1012 | 70646555 | HO224383 | ubiquinol-cytochrome c reductase core I protein | spotted green pufferfish (<i>Tetraodon nigroviridis</i>) | GI:47218978 | 725 | 106/166 (63%) | 5.00E-46 |
| A1015 | 70646556 | HO224384 | haemoglobin-beta | channel catfish (<i>Ictalurus punctatus</i>) | GI:24111232 | 164 | 17/19 (89%) | 0.05 |
| A1017 | 70646557 | HO224385 | alpha-globin | common carp (<i>Cyprinus carpio</i>) | GI:2220885 | 224 | 21/23 (91%), | 2.00E-11 |
| A1026 | 70646558 | HO224386 | ribosomal protein L37 | human (<i>Homo sapiens</i>) | GI:119576406 | 247 | 31/34 (91%) | 3.00E-14 |
| A1027 | 70646559 | HO224387 | ribosomal protein L11 | black-legged tick (<i>Ixodes scapularis</i>) | GI:67084007 | 386 | 39/56 (69%) | 2.00E-26 |

| Clone | dbEST_Id | Accession no. | Putative identification | Closest species | Accession no. | Length | Identity | E-value |
|-------|----------|---------------|--|---|---------------|--------|---------------|-----------|
| A1028 | 70646560 | HO224388 | NADH dehydrogenase (ubiquinone) 1 alpha subcomplex, 10 | zebra fish (<i>Danio rerio</i>) | GI:48734808 | 463 | 58/80 (72%) | 2.00E-48 |
| A1029 | 70646561 | HO224389 | 1-acylglycerol-3-phosphate o-acyltransferase | zebra fish (<i>Danio rerio</i>) | GI:47087391 | 845 | 98/103 (95%). | 5.00E-64 |
| A1030 | 70646562 | HO224390 | WW domain binding protein 2 | channel catfish (<i>Ictalurus punctatus</i>) | GI:86370962 | 611 | 124/145 (85%) | 5.00E-58 |
| A1032 | 70646563 | HO224391 | reverse transcriptase-like protein | zebra fish (<i>Danio rerio</i>) | GI:77403694 | 229 | 17/48 (35%) | 0.95 |
| A1034 | 70646564 | HO224392 | elongation factor-1 alpha | common carp (<i>Cyprinus carpio</i>) | GI:28628941 | 429 | 31/51 (60%) | 1.00E-06 |
| A2003 | 70646565 | HO224393 | zinc finger, UBR1 type 1 | mouse (<i>Monodelphis domestica</i>) | GI:126328549 | 653 | 61/69 (88%) | 8E-53 |
| A3011 | 70646566 | HO224394 | beta-globin | Korean catfish (<i>Parasilurus asotus</i>) | GI:13241083 | 409 | /83 (73%) | 1.00E-28 |
| A3017 | 70646567 | HO224395 | MHC class II alpha chain | channel catfish (<i>Ictalurus punctatus</i>) | GI:5106888 | 720 | 187/210 (89%) | 3.00E-108 |